

**ΑΣΤΡΟΝΟΜΙΑ.** — "Ερευνα ἐπὶ τῶν Μ-γιγάντων ἀστέρων τῆς γειτονίας τοῦ Ἡλίου. Κατανομὴ ἐν τῷ χώρῳ - Κινηματικὴ συμπεριφορά, ὑπὸ Ἀλεξάνδρου Τσιούμη". \* Ανεκοινώθη ὑπὸ τοῦ Ἀκαδημαϊκοῦ κ. Ἰω. Ξανθάκη.

### Ε Ι Σ Α Γ Ω Γ Η

Εἰς τὴν παροῦσαν ἔρευναν ἐπιχειρεῖται ἡ μελέτη τῶν ἰδιοτήτων τῶν Μ-γιγάντων ἀστέρων τῆς περιοχῆς τοῦ Ἡλίου. Ἡ ἀνὰ χεῖρας ἐργασία ἀποτελεῖ τὴν ἀπαρχὴν μιᾶς προσπαθείας τοῦ συγγραφέως διὰ τὸν συνδυασμὸν τῶν συμπερασμάτων τὰ δύοī προκύπτονταν ἀπὸ τὴν μελέτην τῆς κινηματικῆς συμπεριφορᾶς διαφόρων διμάδων ἀστέρων (ἐν προκειμένῳ τῶν Μ-γιγάντων) καὶ τὴν ἐν γένει κατανομὴν τῶν ἀστέρων τούτων ἐν τῷ χώρῳ. Εἰς τὴν παροῦσαν ἔρευναν ἐπιχειρεῖται μελέτη τῆς κατανομῆς τῶν Μ-γιγάντων ἀστέρων προγενεστέρων φασματικῶν ὑποτύπων (M0 - M4) τῆς γειτονίας τοῦ Ἡλίου, γίνεται σύγκρισις μὲ τὰ συμπεράσματα προγενεστέρων ἔρευνῶν καὶ ἐπιχειρεῖται μελέτη τῶν κινηματικῶν ἰδιοτήτων τῶν ἀστέρων τούτων διὰ προσδιορισμοῦ τῶν παραμέτρων τοῦ ἐλειψοειδοῦς ταχυτήτων τῆς ἐν λόγῳ διμάδος.

### ΥΛΙΚΟΝ ΠΑΡΑΤΗΡΗΣΕΩΝ

Βασικὰς πηγὰς ὑλικοῦ διὰ τὴν παροῦσαν ἐργασίαν ἀπετέλεσαν :

1. Ὁ κατάλογος τῶν Blanco καὶ Fitzgerald (1970) περιέχων 20.000 περίπου ἀστέρας διαφόρων φασματικῶν τύπων, διὰ τοὺς δύοίους εἶναι γνωστὰ ἐκ τῆς βιβλιογραφίας τὰ φωτοηλεκτρικὰ μεγέθη εἰς τὸ σύστημα U, B, V τοῦ Johnson καθὼς καὶ οἱ φασματικοὶ τύποι εἰς τὸ MK-System ἢ τουλάχιστον εἰς σύστημα τοῦ Mt. Wilson.

Ἐκ τοῦ καταλόγου τούτου ἐλήφθησαν ὅλοι οἱ Μ-ἀστέρες οἵ διαθέτοντες ἐπαρκῆ στοιχεῖα δι' ἓνα χονδρικὸν τούλαχιστον ὑπολογισμὸν τῆς ἀποστάσεως. Ἐκ τῆς ἐπιλογῆς ταύτης προέκυψαν 238 Μ ἀστέρες.

2. Ἡ ἐργασία τοῦ Eggen (1965) διὰ τοὺς ἐρυθροὺς γίγαντας τοῦ βιορείου ἡμισφαιρίου περιέχουσα κατὰ πανόνα K καὶ M γίγαντας καὶ ὑπεργίγαντας μεταβλητοὺς ἢ μή, ἐφωδιασμένους κατὰ περίπτωσιν μὲ φωτομετρικὰ δεδομένα, MK ἢ

\* A. C. TSIOMIS, Space distribution and cinematical Behaviour of the M-giant Stars of the Solar Neighbourhood.

Mt. Wilson φασματικούς τύπους καὶ δεδομένα τῆς κινήσεως αὐτῶν εἰς τὸν χῶρον. Ἐκ τοῦ καταλόγου τούτου ἐπελέγησαν 303 M - ἀστέρες.

2a. Ἡ ἐργασία τοῦ Eggen (1970) διὰ τοὺς ἔρυθρους γίγαντας τοῦ νοτίου ήμισφαιρίου. Εἰς τὴν ἐργασίαν ταύτην παρέχονται τὰ αὐτὰ ὡς καὶ εἰς τὴν προημένην ἐργασίαν στοιχεῖα. Ἡ ἀποδελτίωσις ἐκ τοῦ καταλόγου τούτου ἀπέδωσεν 159 ἀστέρας.

Τελικῶς τὸ σύνολον τῶν M - ἀστέρων τῶν μὴ κοινῶν εἰς τὸν διαφόρον καταλόγους ἀντιλθεν εἰς 480 ἀστέρας. Τὸ δριακὸν μέγεθος τῶν ἀστέρων αὐτῶν εὑρέθη νὰ εἴναι 9<sup>m.2</sup>.

Διὰ τὸν προσδιορισμὸν τῶν ἀποστάσεων ἐχρησιμοποιήθησαν διὰ μὲν τὰ ἀπόλυτα μεγέθη εἰς τὸ MK - σύστημα ἡ calibration τοῦ Schmidt - Kaler (1965), ἐνῷ διὰ τοὺς πραγματικοὺς δείκτας χρώματος ἡ calibration τοῦ Fitzgerald (1970), διὰ δὲ τὰ ἀπόλυτα μεγέθη καὶ δείκτας χρώματος εἰς τὸ σύστημα φασματικῆς ταξινομήσεως τοῦ Mt. Wilson, ἡ calibration τοῦ Blanco (1965).

‘Ως τιμὴ τοῦ λόγου τῆς ἐκλεκτικῆς ἀπορροφήσεως πρὸς τὴν δικιὴν ἀπορρόφησιν ἐλήφθη  $R = \frac{E_{B-V}}{A_V} = 3.0$ . Ἐπὶ τῇ βάσει τῆς τιμῆς τοῦ λόγου αὐτοῦ ὑπελογίσθη ἡ ἀπόστασις ἐκάστου ἀστέρος, ὑπὸ τὴν προϋπόθεσιν ὅτι οὗτος διέθετεν ἐπαρκῆ πρὸς τοῦτο φωτοηλεκτρικὰ δεδομένα.

Μετὰ τὴν συμπλήρωσιν ἀπὸ ἀπόψεως ἀπαραιτήτων δεδομένων τοῦ πρὸς ἐπεξεργασίαν ὑλικοῦ ἐπεχειρήθησαν αἱ ἀκόλουθοι διερευνήσεις :

1. Ἐγένετο στατιστικὴ τῶν M - ἀστέρων κατὰ φασματικὸν ὑποτύπον καὶ τάξιν λαμπρότητος.

2. Ἐπεχειρήθη ὁ ἐντοπισμὸς πιθανοῦ φαινομένου ἀναλόγου πρὸς τὸ Gould's Belt.

3. Κατεβλήθη προσπάθεια γενικῆς μελέτης τῆς κατανομῆς τῶν M - γιγάντων ἀστέρων τῆς γειτονίας τοῦ Ἡλίου εἰς τὸν χῶρον καὶ

4. Ἐγένετο προσπάθεια μελέτης τῆς κινηματικῆς συμπεριφορᾶς τῶν εἰς τὴν διάθεσίν μας M - γιγάντων ἀστέρων μὲ τὴν πρόθεσιν νὰ ἐλεγχθοῦν συμπεράσματα ἀφορῶντα εἰς τὸν τύπον αὐτὸν τῶν ἀστέρων, προκύψαντα ἀπὸ ἄλλας διερευνήσεις, Τσιούμης (1974), ᾧ καὶ κατὰ τὴν πρόοδον τῆς παρούσης μελέτης.

#### ΔΙΕΡΕΥΝΗΣΕΙΣ - ΣΥΜΠΕΡΑΣΜΑΤΑ

Λιάφοροι ἐρευνηταὶ ὅπως ὁ Mc Cuskey (1970), Mavridis (1971), Τσιούμης (1974) εἶχον ἐντοπίσει τὸ γεγονός ὅτι τὸ σύνολον τῶν M - γιγάντων ἀστέρων δὲν συμπεριφέρεται γενικῶς κατὰ τὸν ἔδιον τρόπον εἰς ὅ,τι ἀφορᾷ τὴν κατανομὴν

αὐτῶν εἰς τὸν γαλαξίαν, ἀλλὰ τούναντίον ἐμφανίζονται ἐκλεκτικαὶ τάσεις συγκεντρώσεως εἰς διάφορα σημεῖα ἐντὸς τοῦ γαλαξίου, συγκεκριμένων διακεκριμένων διμάδων ἐκ τῶν ἀστέρων τούτων. Τὸ γεγονός τοῦτο ἀπετέλεσε τὸν βασικὸν λόγον ἀντιμετωπίσεως τοῦ εἰς τὴν διάθεσίν μας ὑλικοῦ κατ' ἀνάλογον τρόπον. Οὕτως ἐπεχειρήθη κατ' ἀρχὰς μία στατιστικὴ ἐπὶ τοῦ ὑλικοῦ εἰς ὅ, τι ἀφορᾷ τὴν κατανομὴν αὐτοῦ κατὰ φασματικὸν ὑποτύπον καὶ τάξιν λαμπρότητος, ἡ δοιά ἀπέδωσε τὰ ἀποτελέσματα ποὺ ἐμφαίνονται εἰς τὸν πίνακα ὅπ' ἀριθμ. 1.

## Π Ι Ν Α Ξ 1

Κατανομὴ κατὰ φασματικὸν ὑποτύπον καὶ τάξιν λαμπρότητος τῶν εἰς τὴν διάθεσίν μας M - ἀστέρων τῆς γειτονίας τοῦ ἡλίου

*Αστέρες ταξινομημένοι εἰς τὸ σύστημα τῶν Morgan - Keenan									
	V	III	II - III	II	I - II	Ib - II	Ib	Iab	Ia
M 0.0	11	33	—	1	—	—	—	3	—
M 0.5	1	—	—	—	—	—	—	—	—
M 1.0	2	20	—	3	—	—	1	1	—
M 1.5	—	—	—	—	—	—	—	—	1
M 2.0	2	30	—	2	—	—	4	2	1
M 2.5	—	—	—	—	—	—	—	—	—
M 3.0	—	23	—	4 —	—	—	1	2	—
M 3.5	1	—	—	—	—	—	—	—	—
M 4	2	28	1	—	—	—	—	—	16
μεταγ.									

Γίγαντες M - ἀστέρων ταξινομημένοι εἰς τὸ σύστημα τοῦ Mt. Wilson										
M 0.0	M 0.5	M 1.0	M 1.5	M 2.0	M 2.5	M 3.0	M 3.5	M 4	μεταγ.	
51	—	46	—	60	—	48	—	46		

Διὰ τὰς περαιτέρω διερευνήσεις ἀπεκλείσθησαν ὅλοι οἱ ἀστέρες οἵ εὑρισκόμεναι ἐγγύτερον τῶν 25 pc καὶ πέραν τῶν 1000 pc. Μὲ τὸν τρόπον αὐτὸν ἔξαι-

ροῦνται ἀπὸ τὴν μελέτην οἱ νάνοι M - ἀστέρες, δεδομένου ὅτι ἡ συμπεριφορὰ τῶν ἐν λόγῳ ἀστέρων δὲν ἐμπίπτει εἰς τὰ ἐνδιαφέροντα τῆς παρούσης μελέτης.

Διὰ τὴν λεπτομερεστέραν μελέτην τῶν κατὰ κύριον λόγον ἐναπομεινάντων M - γιγάντων ἀστέρων, ἐπεχειρήθη διαχωρισμὸς τῶν ἀστέρων καθ' ὅμαδας ἀναλόγως τῆς ἀποστάσεως. Οὕτω κατηρτίσθησαν αἱ κάτωθι ὅμαδες ἀστέρων :

‘Ομάδες περιλαμβάνουσαι M - γίγαντας εἰς διαστήματα ἀποστάσεων

1) 25 - 150, 2) 25 - 200, 3) 25 - 250, 4) 25 - 300 pc. κ.ο.κ.

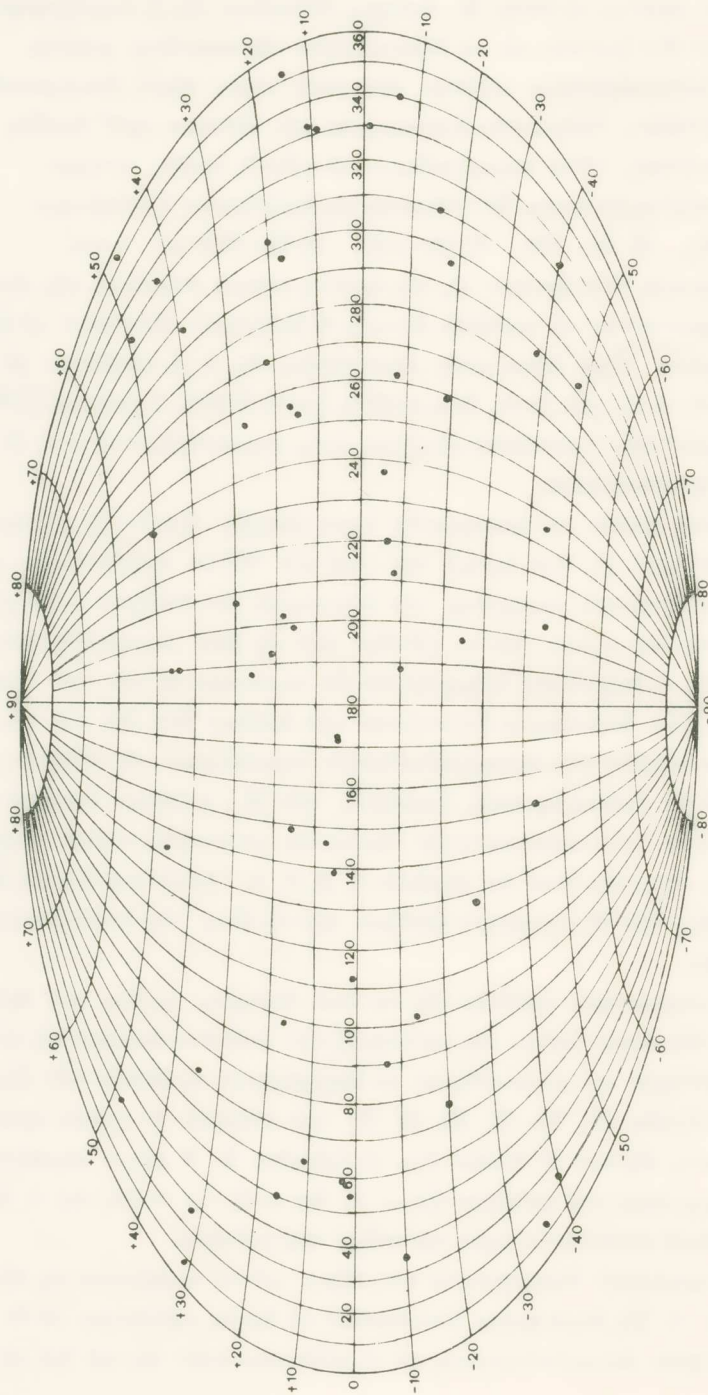
Ο διαχωρισμὸς τῶν ἀστέρων εἰς τὰς ὅμαδας ταύτας ἀναλόγως τῆς ἀποστάσεως γίνεται προκειμένου νὰ καταστῇ δυνατὴ ἡ διάγνωσις ἰδιοτήτων αἱ ὅποιαι δυνατὸν νὰ ἴσχυουν μέχρι δρίου τινος ἀποστάσεως, ὡς λ. χ. συμβαίνει μὲ τοὺς O - B ἀστέρας εἰς τὸ Goulob Belt, Bok (1937), Lesh (1968), Lindblad (1973) ἢ ἀκόμη καὶ νὰ μελετηθῇ ἡ μεταβολὴ μεγέθους τινος καρακτηρίζοντος τοὺς ἐν λόγῳ ἀστέρας μετὰ τῆς ἀποστάσεως.

Προκειμένου λοιπὸν νὰ ἐπισημανθῇ τυχὸν ὑπαρξίς ἐκλεκτικῆς τάσεως τῶν M - γιγάντων ἀστέρων εἰς ὅ,τι ἀφορᾷ τὴν περὶ τὸν Ἡλιον διάταξίν των, κατεσκευάσθησαν διαγράμματα παρέχοντα τὴν κατανομὴν τῶν ἀστέρων τούτων κατὰ γαλαξιακὸν μῆκος καὶ πλάτος, διὰ τὸ σύνολον τῶν ὧς ἄνω καταρτισθεισῶν ὅμαδων. Μάλιστα δέ, ἡ διερεύνησις ἐπροχώρησεν ἐτι περαιτέρω μὲ τὴν κατ' ἴδιαν μελέτην διὰ τὰ ὧς ἄνω διαστήματα ἀποστάσεων τῶν ὅμαδων M0 - M1 καὶ M2 - M4.

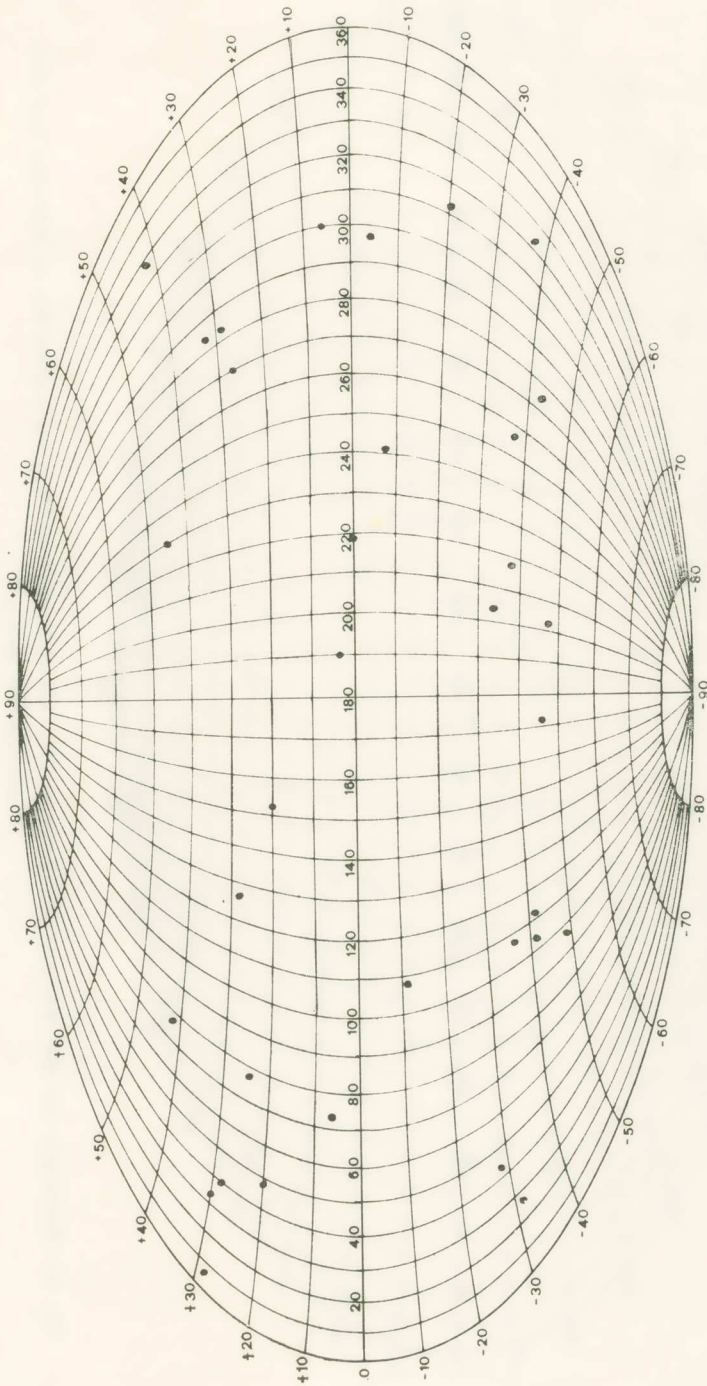
Παρὰ τὴν πληθὺν τῶν ἀντιμετωπισθεισῶν περιπτώσεων εἰς οὐδεμίαν περίπτωσιν ἐνεφανίσθη ἐκλεκτικὴ τάσις διατάξεως τῶν M - γιγάντων ἀστέρων καθ' ὅιονδήποτε τρόπον. Ἀντιπροσωπευτικὴν εἰκόνα τῆς κατανομῆς τούτων παρέχουν τὰ διαγράμματα τῶν σχημάτων ὑπὸ ἀριθμὸν 1, 2, 3, 4. Ἀναλόγως ἄτυπος ἐμφανίζεται ἡ διάταξις τῶν M - γιγάντων ἀστέρων καὶ εἰς ὅλας τὰς ὑπολοίπους μελετηθείσας ὅμαδας.

Διὰ τὴν πληρεστέραν μελέτην τῆς ὧς ἄνω ἰδιότητος καθὼς καὶ διὰ τὴν ἀπόκτησιν μιᾶς εὐρυτέρας εἰκόνος τῆς κατανομῆς τῶν γιγάντων ἀστέρων εἰς τὸν χῶρον, κατεσκευάσθησαν καὶ ἐμελετήθησαν τὰ διαγράμματα προβολῶν τῶν ἀστέρων τούτων εἰς τὰ ἐπίπεδα (X, Y), (X, Z), (Y, Z) τοῦ γνωστοῦ ἐν χρήσει τρισορθογωνίου συστήματος ἀξόνων τὸ δροῖον ἔχει τὸ ἐπίπεδον X, Y αὐτοῦ συμπίπτον μὲ τὸ ἐπίπεδον συμμετρίας τοῦ γαλαξίου ( $lx = 0$ ,  $bx = 0$ ,  $ly = 90$ ,  $by = 0$ ) καὶ τὸ ἄξονα Z αὐτοῦ σκοπεύοντα πρὸς τὸν πόλον τοῦ γαλαξίου.

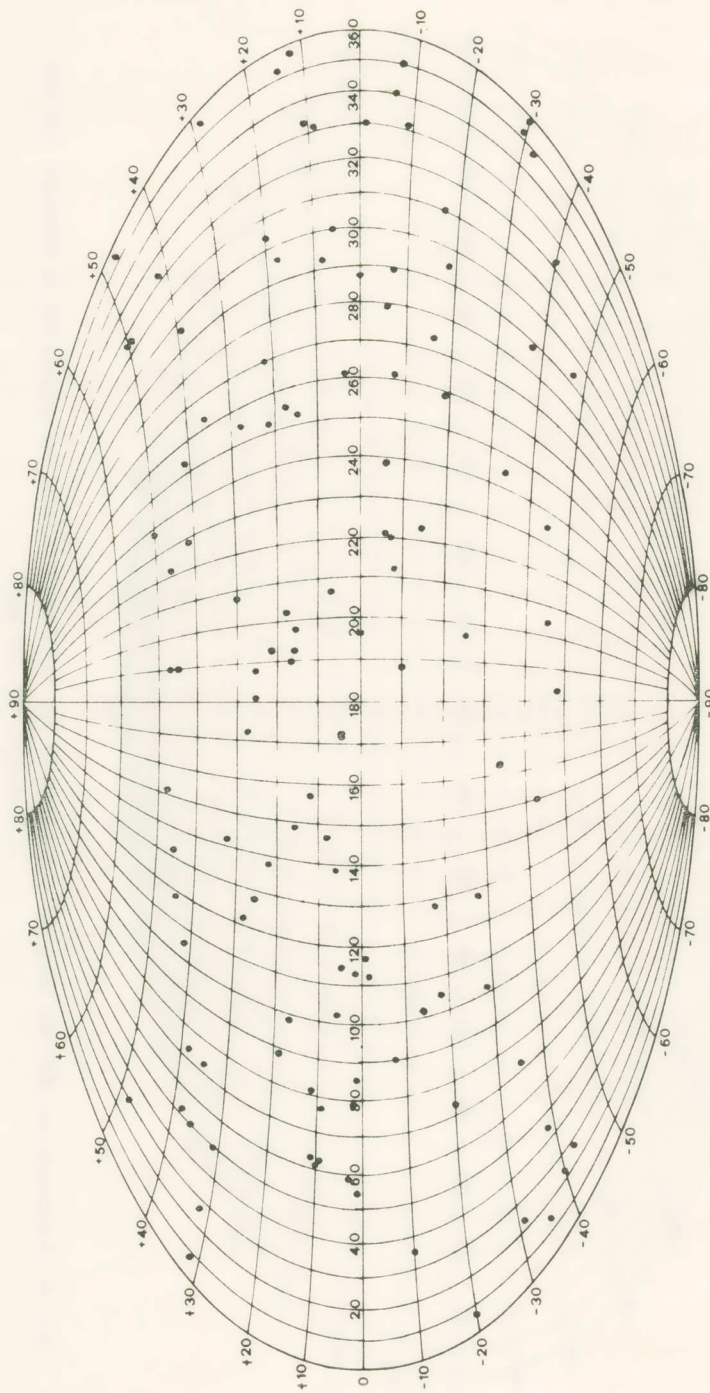
Ἀντιπροσωπευτικὰ διαγράμματα τοῦ εἴδους αὐτοῦ παρέχονται εἰς τὰ σχήματα 5, 6, 7, 8, 9. Τὰ διαστήματα ἀποστάσεων τὰ ὅποια καλύπτουν τὰ ἐν λόγῳ σχήματα ἐλήφθησαν δειγματοληπτικῶς μὲ τὸ αὐτὸ σκεπτικὸν ὡς καὶ διὰ τὰ σχήματα 1 - 4.



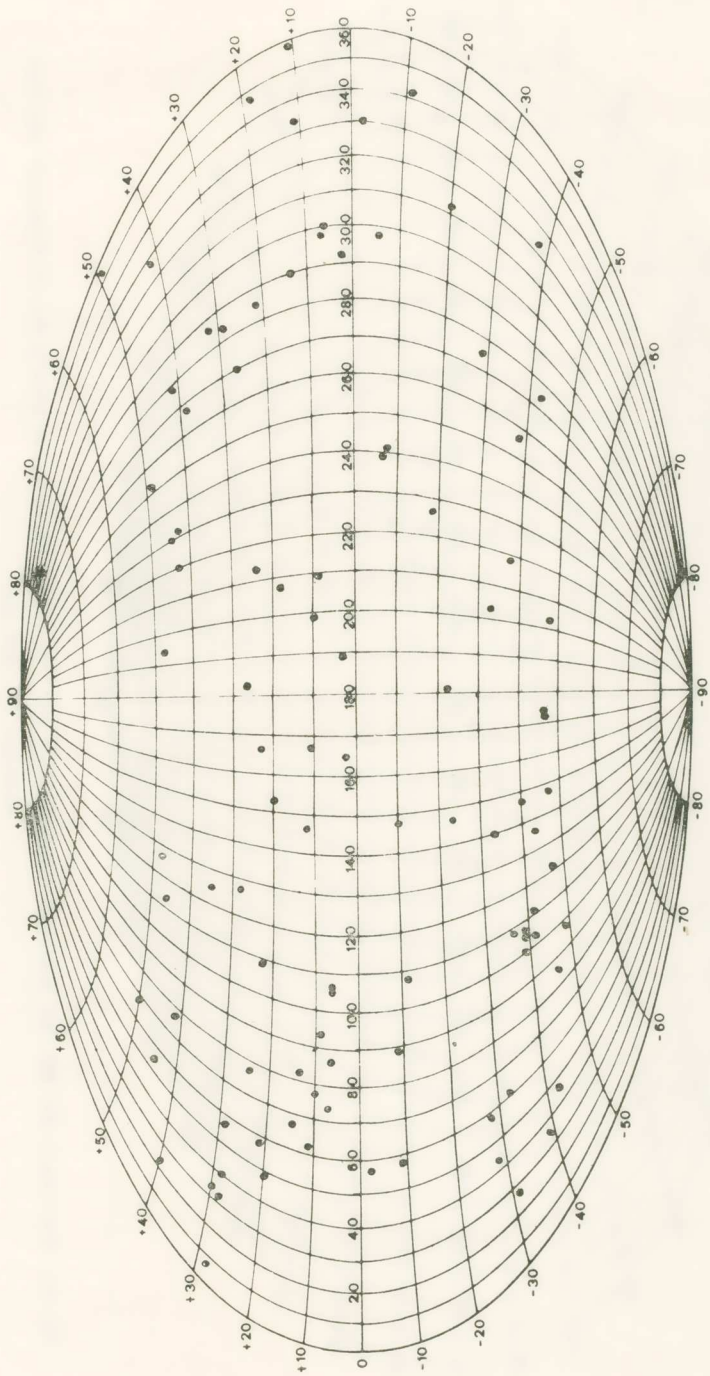
Σχ. 1α. Καταγραφή τῶν M0 - M1 γαγάντων ἀστέρων μετὰ τοῦ γαλαξιακοῦ πλάνους και μῆκους διά τὸ διάστημα τῶν ὁποιαδήποτε στάσεων 25 - 150 p.c.



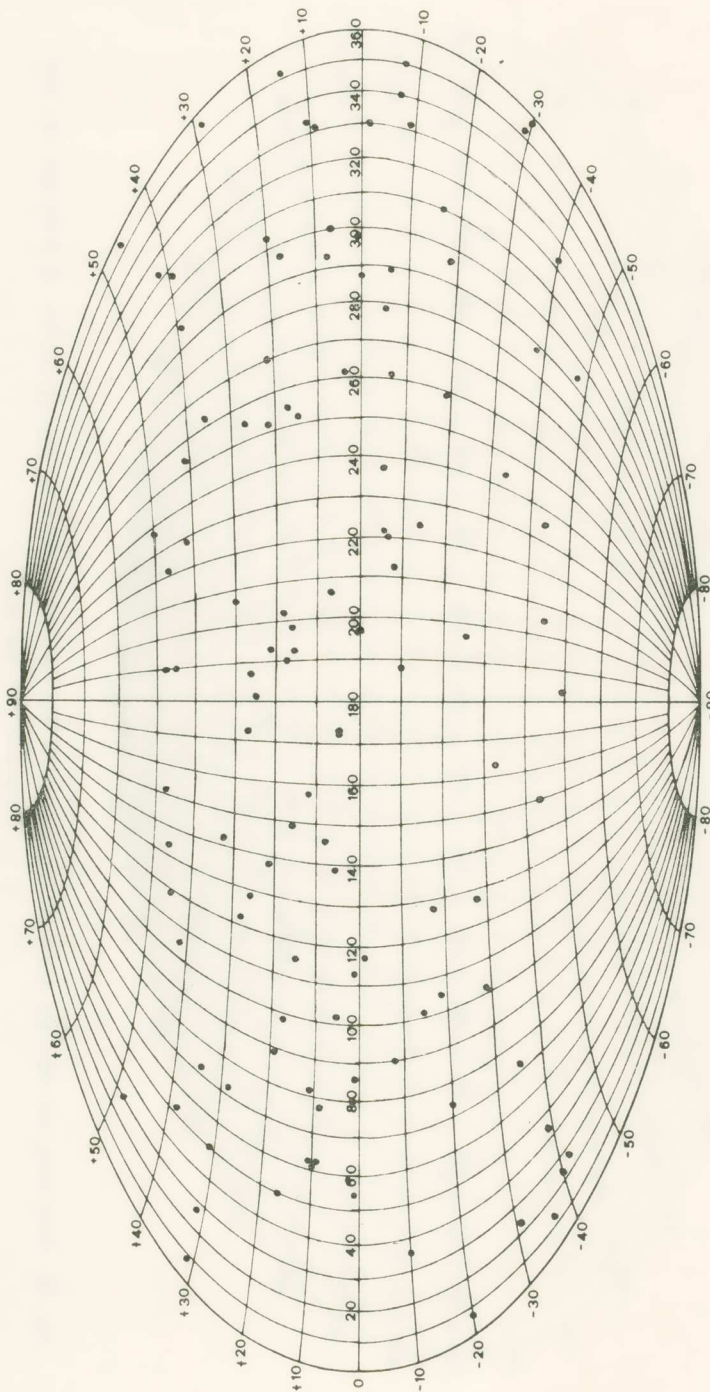
Σχ. 1β. Κατανομή τῶν M<sub>2</sub> - M<sub>4</sub> γιγάντων αστέρων μετὰ τοῦ γαλαξιακοῦ πλάτους καὶ μήκους διὰ τὸ διάστημα τῶν ἀποστεόν 25 - 150 p.c.



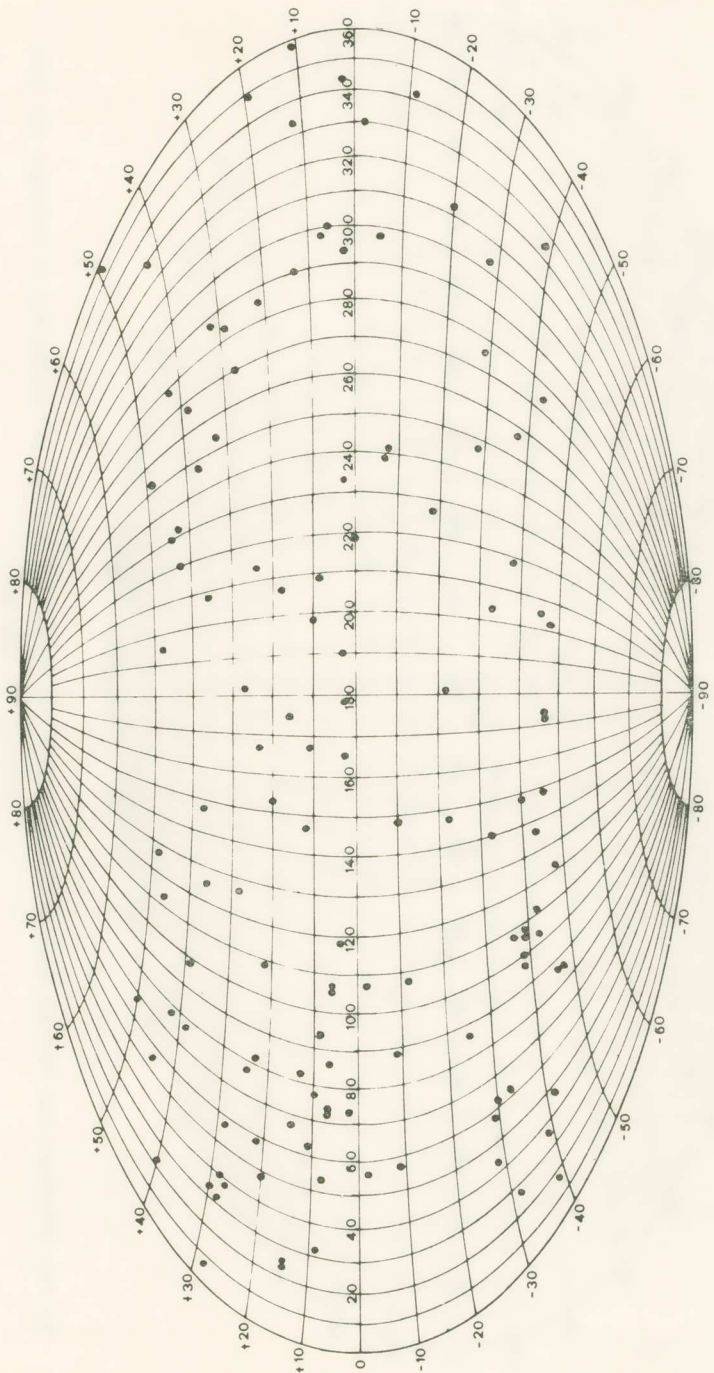
Σχ. 2α. Κατανομή τῶν M0 - M1 γιγάντων ἀστέρων μετὰ τοῦ γαλαξιακοῦ πλάτους καὶ μῆκους διὰ τὸ διάστημα τῶν ἀποστάσεων 25 - 250 ρ.σ.



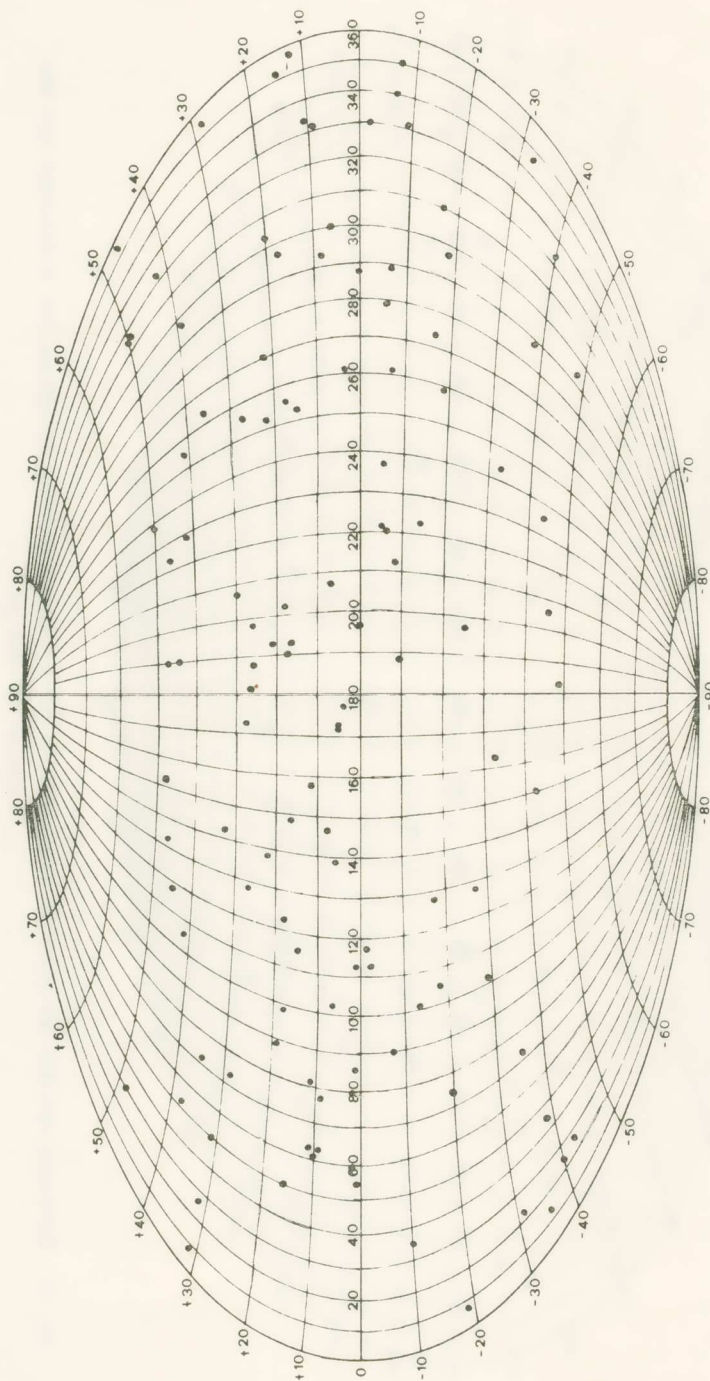
Σχ. 2β. Κατανομή τῶν M2 - M4 γιγάντων ἀστέρων μετὰ τοῦ γαλαξιακοῦ πλάνου και μήνοις διὰ τὸ διάστημα τῶν ἀποστάσεων 2,5 - 250 p.c.



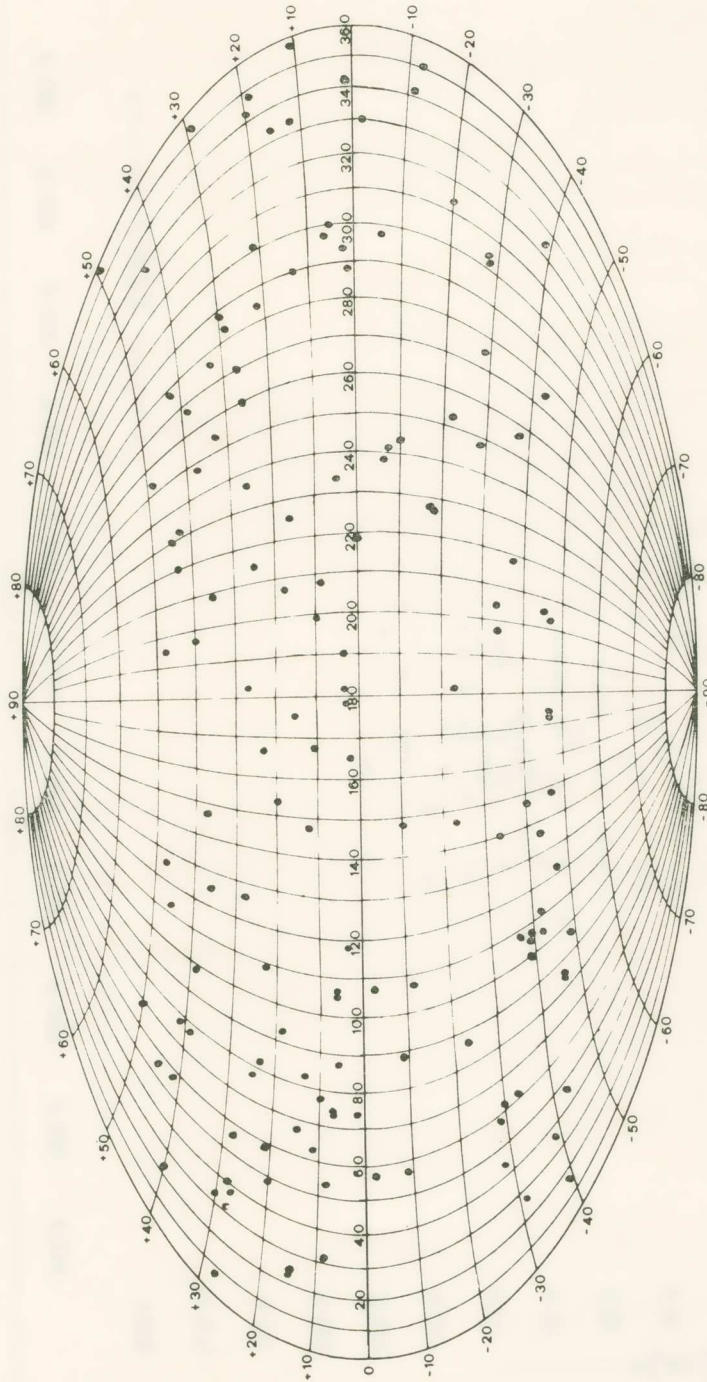
Σχ. 3α. Καταγραφή τῶν M0 - M1 γηγάντων ἀστέρων μετὰ τοῦ γαλαξιακοῦ πλάνου καὶ μήκους διὰ τὸ διάστημα τῶν ἀποστάσεων 25 - 350 pc.



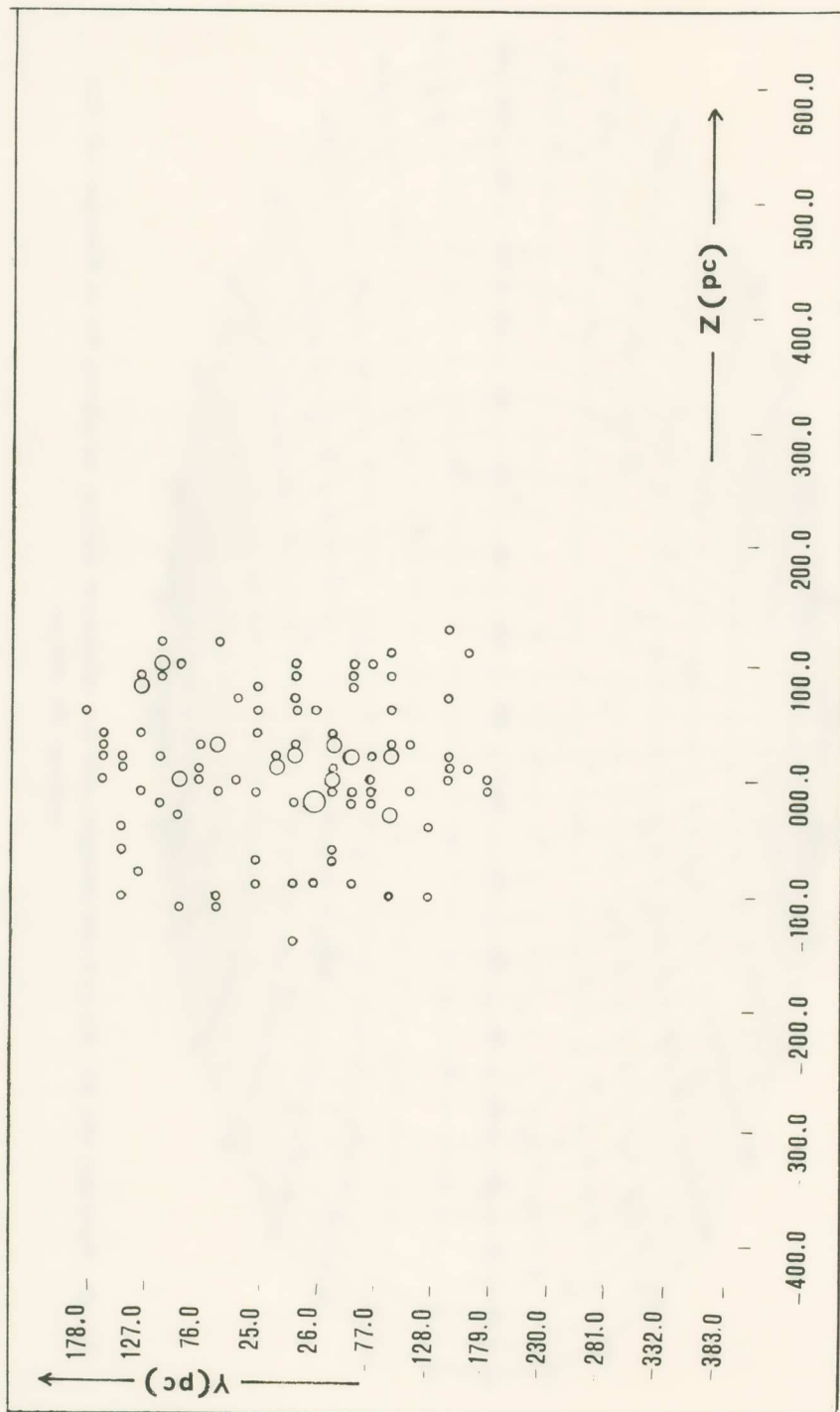
Σχ. 3β. Κατανομή τῶν M2 - M<sub>1</sub> γιγάντων ἀστέρων μετὰ τοῦ γαλαξιακοῦ πλάτους καὶ μῆκους διὰ τὸ διάστημα τῶν ἀποστολῶν 25 - 350 p.c.



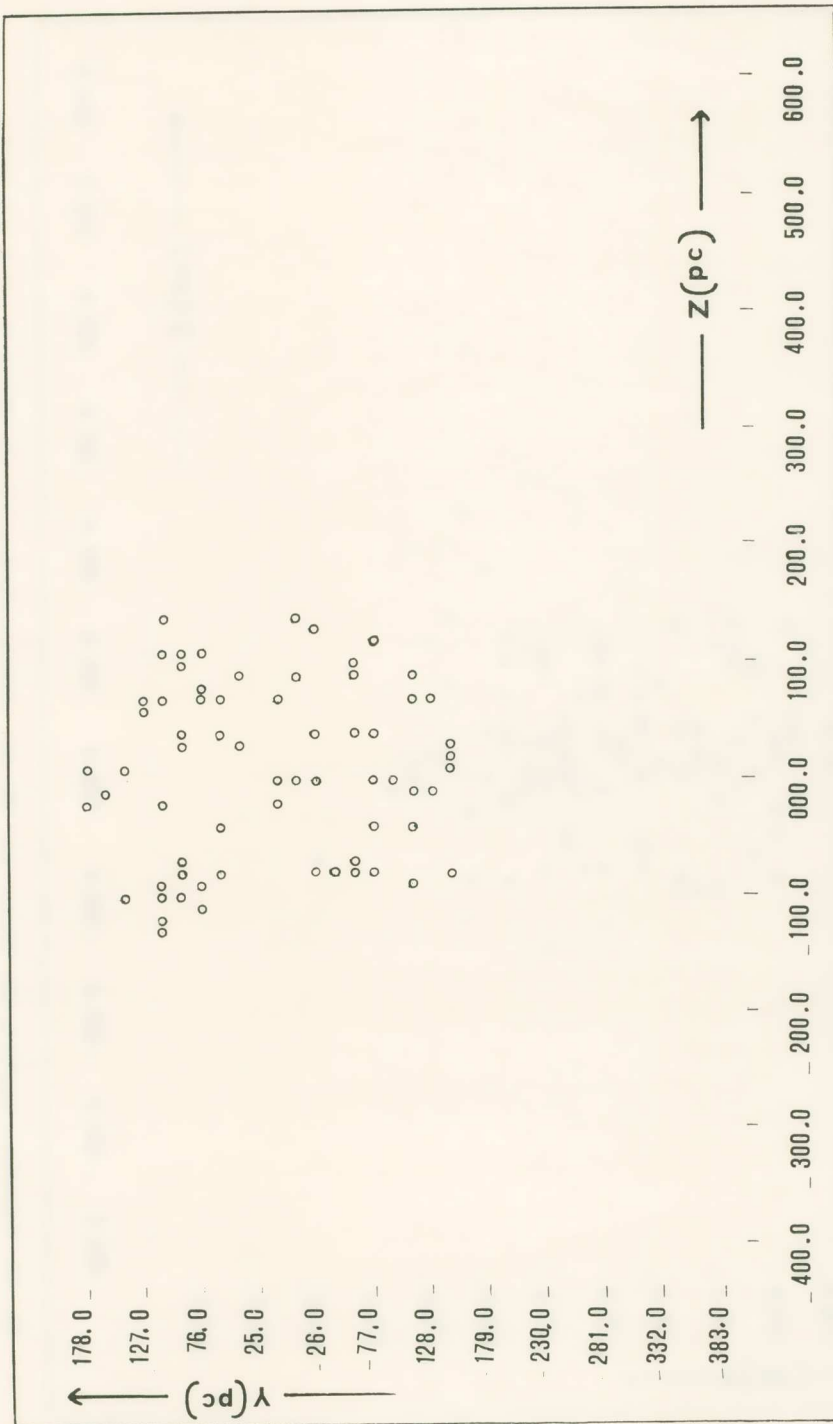
Σχ. 4α. Κατανοή τῶν M0 - M1 γιγάντων δστρέφον μετά τοῦ γαλαξίακου πλάτους και μηκούς διά τὸ διάστημα τῶν ἀπο-  
στάσεων 25 - 500 pc.



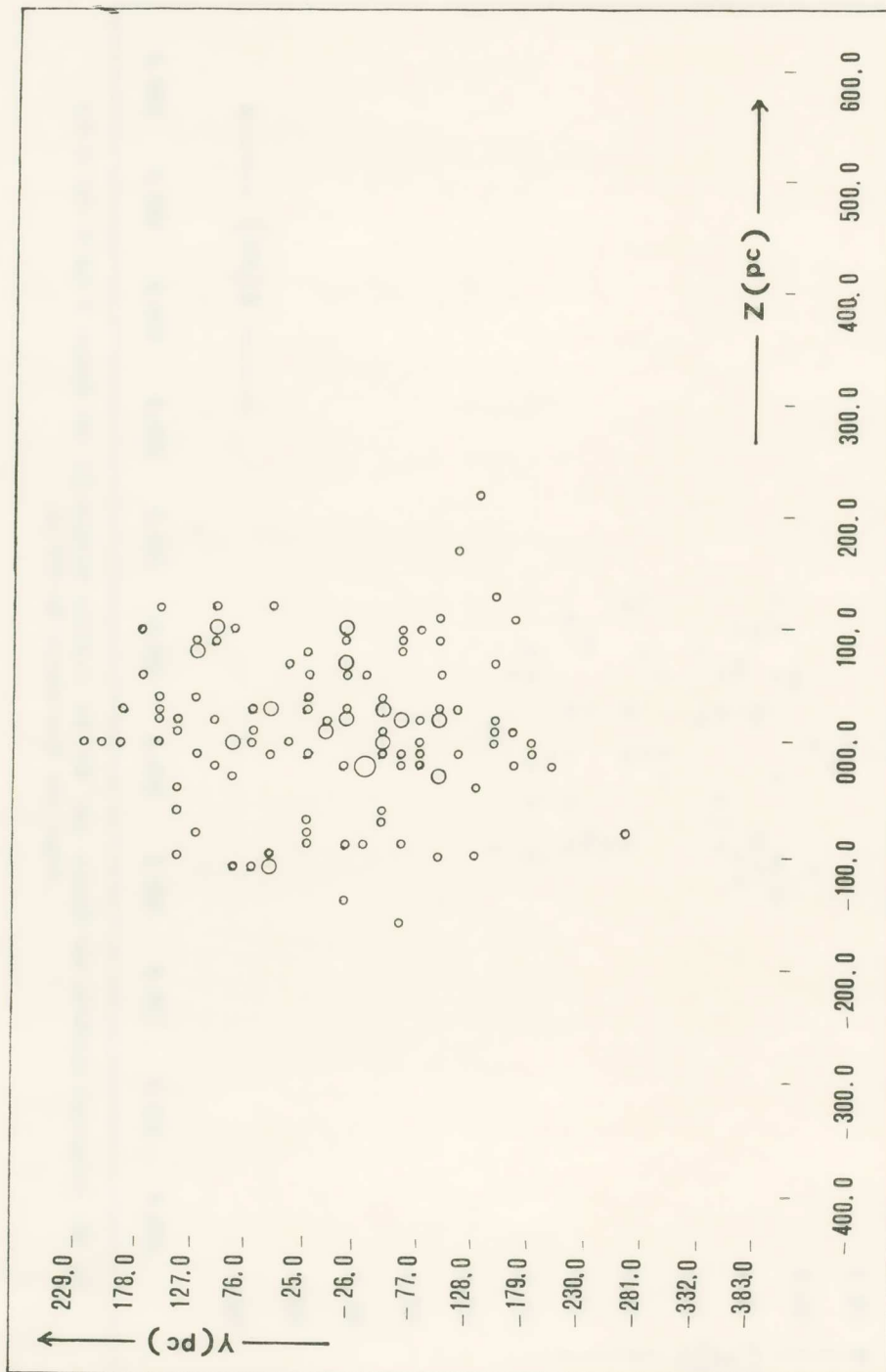
Σχ. 4β. Κατανομή τῶν M2 - M4 γυγάντων ἀστέρων μετά τοῦ γαλαξιακοῦ πλάνους καὶ μήκους διὰ τὸ διάστημα τῶν ἀποστεόν 25 - 500 p.c.



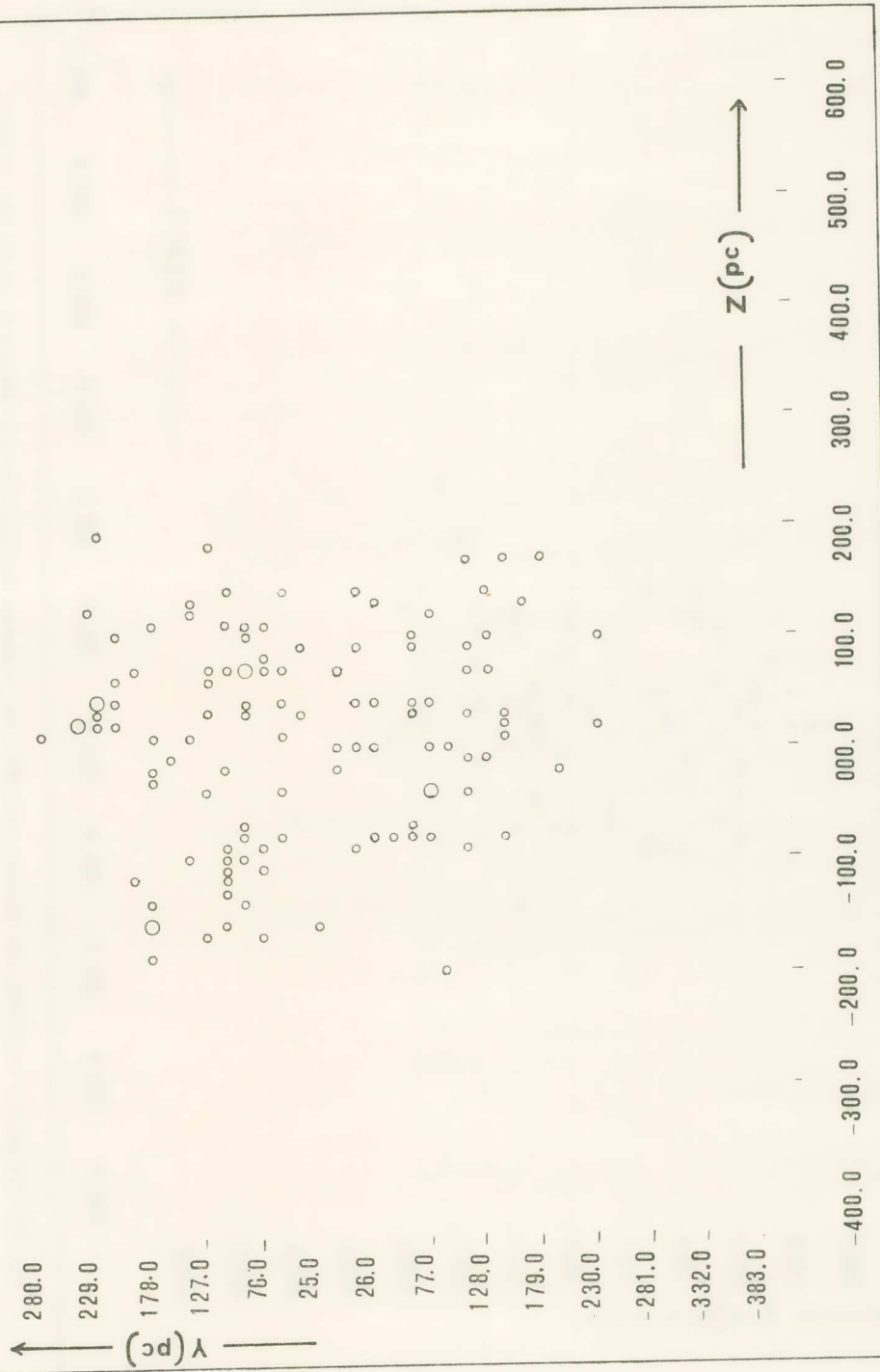
Σχ. 5α. Διάγραμμα προβολής των θέσεων των ΜΟ - ΜΙ γνάτων μετέρων έπει των άξονων  $Y$  και  $Z$  διὰ τὸ διάστημα τῶν ἀποστάσεων 25 - 200 pc.



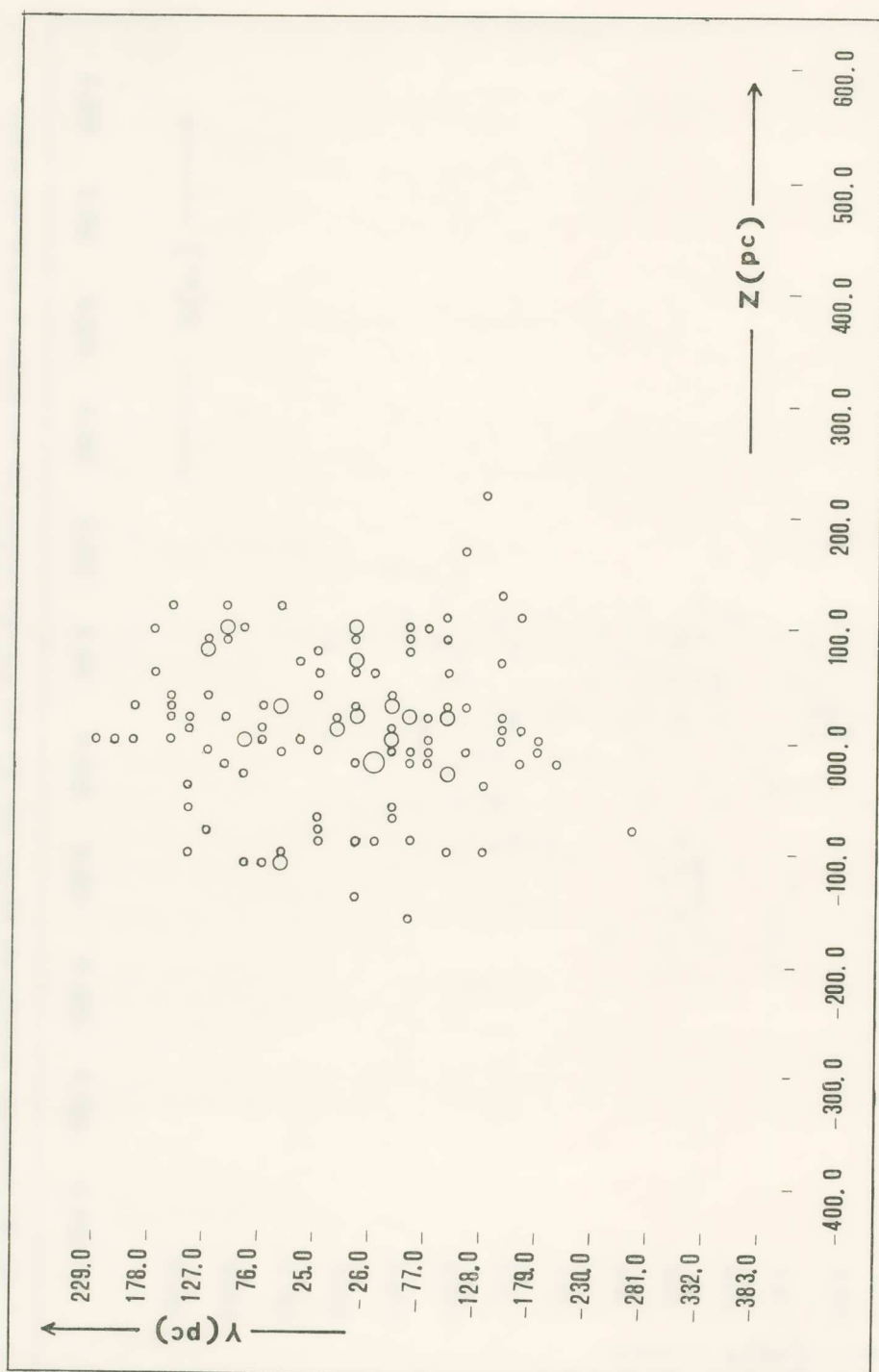
Σχ. 5β. Διάγραμμα προβολῆς τῶν θέσεων τῶν M2 - M4 γιγάντων αστέρων ἐπὶ τῶν αξόνων Y καὶ Z διὰ τὸ διάστημα τῶν αποστάσεων 25 - 200 pc.



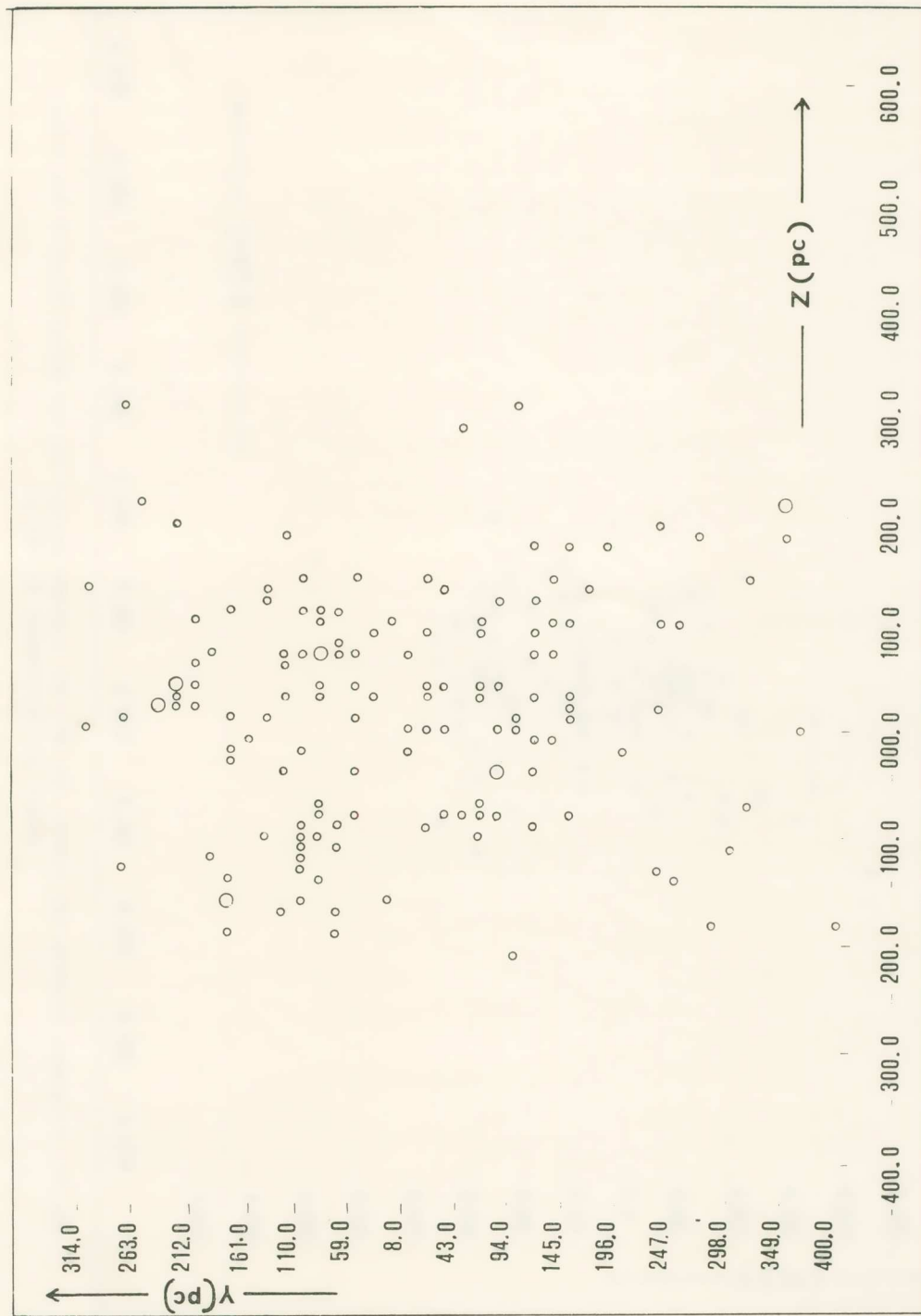
Σημ. 6α. Διάγραμμα προβολής των θέσεων των γαλαξίων επί των αστέρων M0 - M1 γιγάντων αστέρων για την άξονα Y και Z διὰ το διάστημα των αποστάσεων 25 - 300 pc.



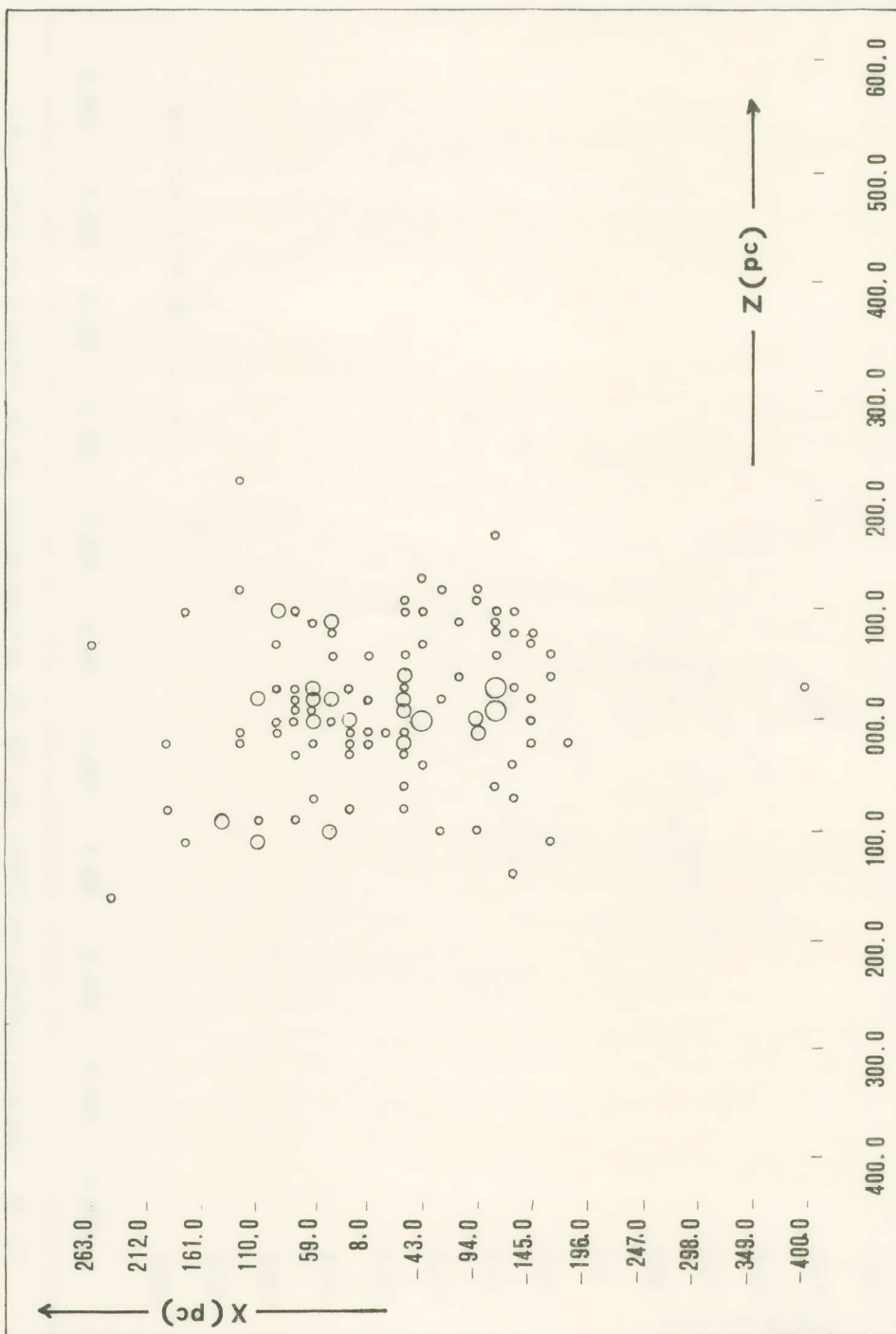
Ση. 6β. Διάγραμμα προβολής τῶν θεσεων τῶν ἀξόνων Y και Z διάστημα τῶν αποστάσεων 25 - 300 pc.



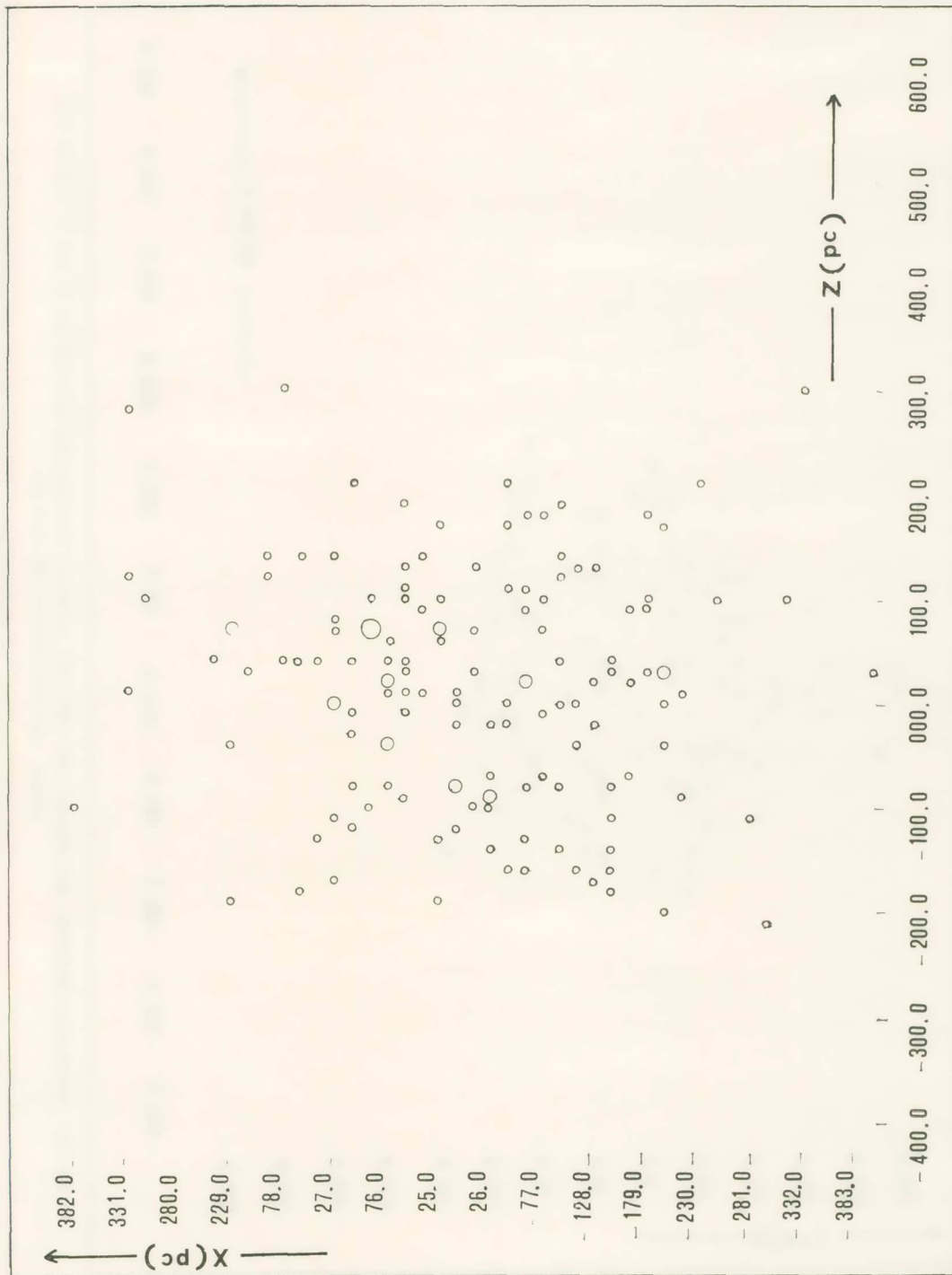
Σχ. 7α. Διάγραμμα προβολής τῶν θέσεων τῶν γιγάντων ἀστέρων ἐπὶ τῶν ἀξόνων Υ καὶ Ζ διάδημα τῶν ἀποστάσεων 25 - 500 ρ. c.



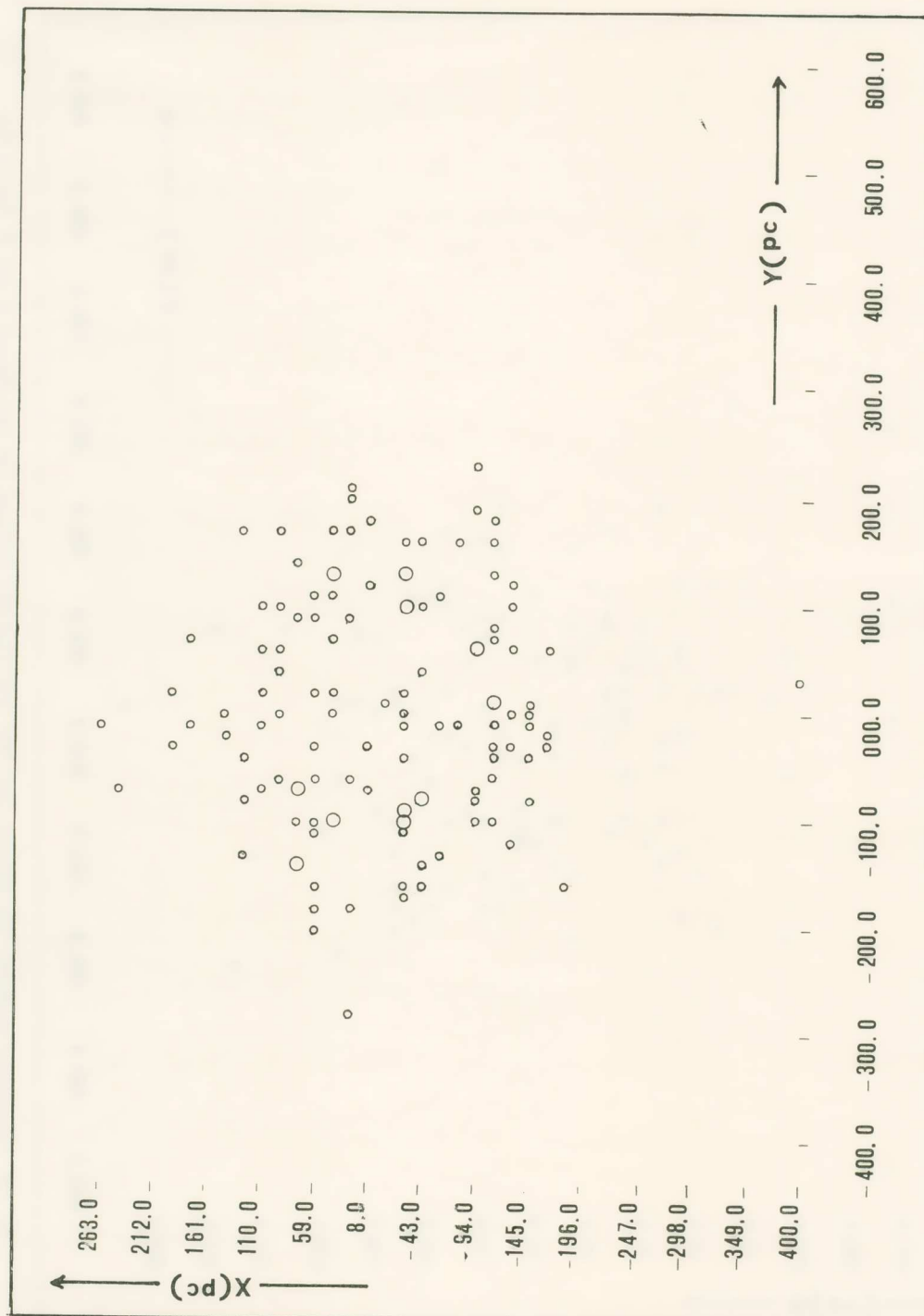
Σχ. 7β. Διάγραμμα προβολής των θέσεων των M2 · M4 γηγάντων αστέρων επί των άξονων Y και Z διὰ τὸ διάστημα τῶν αποστάσεων 25 - 500 pc.



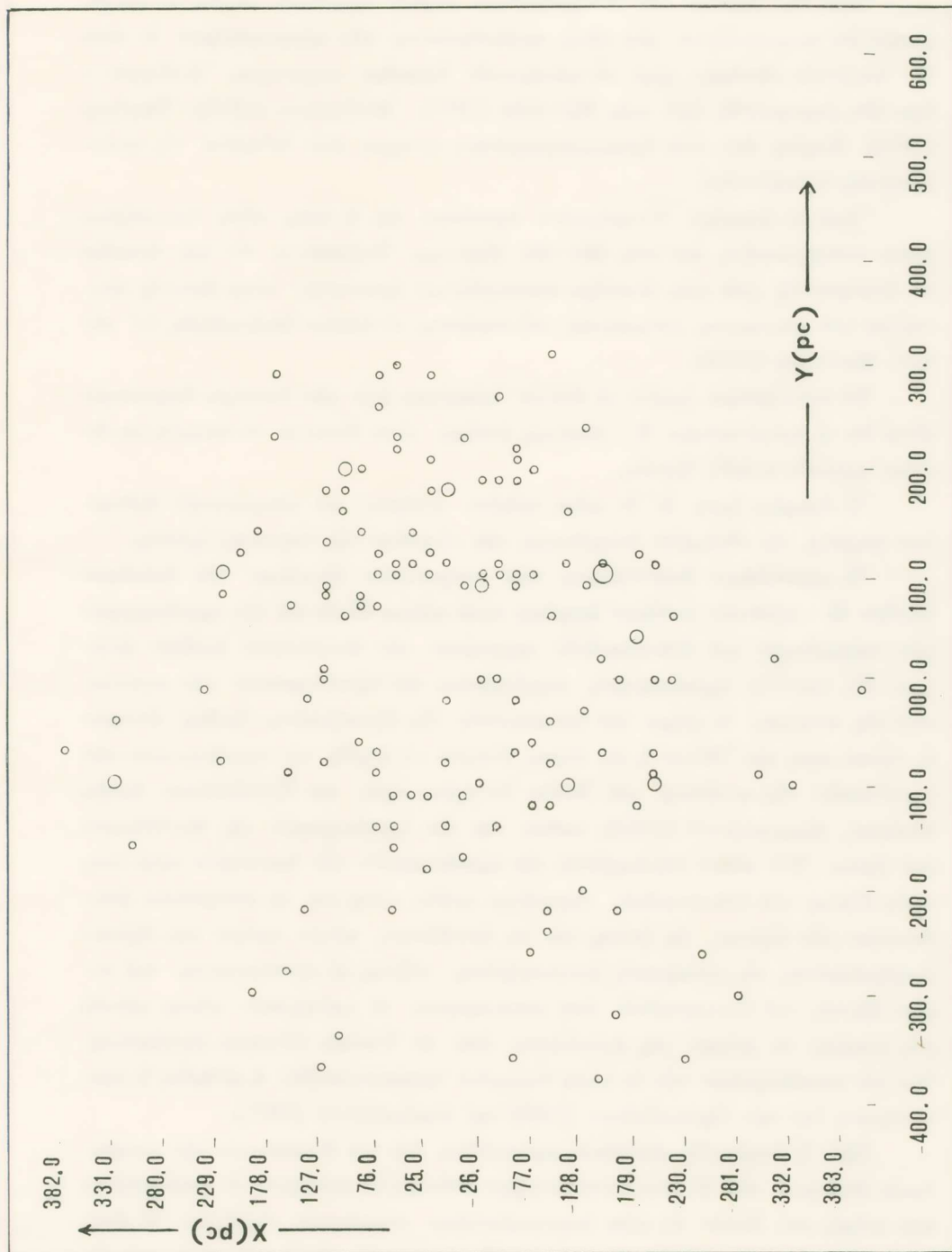
Σημ. 8α. Διάγραμμα προβολής των θέσεων των γαλακτών αστέρων επί των άξονων X και Z διὰ τὸ διάστημα τῶν αποστάσεων 25 - 500 pc.



Ση. 8β. Απειραμα ποθολής των ψέσων των M2 - M4 γαλακτων αστέρων επί των άξονων X και Z διὰ τό διάστημα των αποστάσεων 25 - 500 pc.



Σχ. 9α. Διάγραμμα προβολής των θέσεων των M0 - M1 γηγάντων αστέρων ἐπί των ἀξόνων X καὶ Y διὰ τὸ διάστημα τῶν ἀποστάσεων 25 - 500 pc.



Σχ. 9β. Διάγραμμα προβολής των θέσεων των  $M2 - M4$  γιγάντων αστέρων επί των ξένων  $X$  και  $Y$  διὰ τὸ διάστημα τῶν αποστάσεων 25 - 500 pc.

<sup>7</sup> Από τὴν μελέτην τῶν διαγραμμάτων τούτων προκύπτει σαφῶς τὸ συμπέρασμα ὅτι παρουσιάζεται μία τάσις συγκεντρώσεως τῶν προγενεστέρων ἐν γένει Μ - γιγάντων ἀστέρων περὶ τὸ γαλαξιακὸν ἐπίπεδον συμμετρίας. <sup>8</sup> Ανάλογόν τι ἔχει ἡδη ἐπισημανθῆ ἀπὸ τοὺς Mavridis (1971), Mc Cuskey (1970), Τσιούμης (1974). Κυρίως διὰ τοὺς ἀπομεμακρυσμένους ἀστέρας ἀπὸ δεδομένα τῆς φωτογραφικῆς φωτομετρίας.

<sup>9</sup> Απὸ τὰ ἀνωτέρω διαγράμματα προκύπτει ὅτι ἡ τάσις αὗτη ἐμφανίζεται πλέον ἐκπεφρασμένη διὰ τοὺς M0 - M1 γίγαντας. Τοιοῦτόν τι δὲν ἦτο δυνατὸν νὰ ἐπισημανθῇ ἀπὸ τοὺς ἀνωτέρω ἀναφερόμενας ἐρευνητάς, λόγῳ βασικῆς ἀδυναμίας τοῦ συστήματος φασματικῆς ταξινομήσεως τὸ διποῖον ἡκολουθήθη ὑπὸ αὐτῶν, Mavridis (1970).

Τὸ συμπέρασμα λοιπὸν τὸ διποῖον προκύπτει ἀπὸ τὴν ἀνωτέρω διερεύνησιν εἶναι ὅτι οἱ προγενέστεροι M - γίγαντες ἀστέρες εἶναι δυνατὸν νὰ ἀναμένεται ὅτι εἶναι σχετικῶς νεαρᾶς ἥλικιας.

<sup>10</sup> Η ὕπαρξις ὅμως δι' ἐν μέγα πλῆθος ἀστέρων καὶ κινηματικῶν δεδομένων παρέσχε τὴν εὑκαιρίαν διεργάνεσεως τῶν πλαισίων τῆς παρούσης ἐρεύνης.

<sup>11</sup> Η προσπάθεια διερευνήσεως τῶν κινηματικῶν ἰδιοτήτων τῶν διαφόρων διμάδων M - γιγάντων ἀστέρων ἐστράφη κατὰ κύριον λόγον εἰς τὸν προσδιορισμὸν τῶν παραμέτρων τοῦ ἐλλειψοειδοῦς ταχυτήτων τῶν ἀντιστοίχων διμάδων ἀστέρων. Εἴς τοιοῦτος προσδιορισμὸς περιλαμβάνει τὸν προσδιορισμὸν τῶν συνιστώσων τῆς κινήσεως ἐν χώρῳ τοῦ κεντροειδοῦς τῆς ἐξεταζομένης διμάδος ἀστέρων ἐν σχέσει πρὸς τὸν Ἡλιον ἢ, ὡς ἄλλως δύναται νὰ λεχθῇ, τὸν προσδιορισμὸν τῶν συνιστώσων τῆς κινήσεως τοῦ Ἡλίου ἐν σχέσει πρὸς τὴν ἐξεταζομένην διμάδα ἀστέρων, Atanasijević (1971), καθὼς καὶ τὸν προσδιορισμὸν τῆς διευθύνσεως τοῦ Aρεχ. <sup>12</sup> Επὶ πλέον περιλαμβάνει τὸν προσδιορισμὸν τῶν διασπορῶν κατὰ τοὺς τρεῖς ἀξονας τοῦ ἐλλειψοειδοῦς ταχυτήτων καθὼς τέλος καὶ τὰ συνημίτονα διευθύνσεων τῶν ἀξόνων, ὡς ἐπίσης καὶ τὰς διευθύνσεις αὐτῶν τούτων τῶν ἀξόνων ἐκπεφρασμένας εἰς γαλαξιακὰς συντεταγμένας. Οὕτως αἱ συντεταγμέναι τοῦ κυρίου ἀξονος τοῦ ἐλλειψοειδοῦς (καὶ συγκεκριμένα τὸ γαλαξιακὸν μῆκος αὐτοῦ) μᾶς παρέχει τὸ μέτρον τῆς ἀποκλίσεως ἀπὸ τὸ Vertex (Vertex Deviation). Διὰ τὸν προσδιορισμὸν τῶν ἐν λόγῳ στοιχείων ἐχρησιμοποιήθη ἡ μέθοδος ἡ προτεινομένη ὑπὸ τῶν Ogorodnicov (1965) καὶ Atanasijević (1971).

Πρὸιν ἡ ἀναληφθῆ ὁιαδήποτε προσπάθεια διὰ τὴν διερεύνησιν τῶν κινηματικῶν ἰδιοτήτων τῶν M - γιγάντων ἀστέρων, ἐθεωρήθη σκόπιμον νὰ ὑποβληθῇ τὸ ἀνὰ χεῖράς μας ὑλικὸν εἰς μίαν λεπτομερεστέραν στατιστικὴν ἀνάλυσιν. <sup>13</sup> Η ἀνάλυσις αὗτη εἶχεν ὡς σκοπὸν τὴν μελέτην τῆς κατανομῆς τῶν ἐν τῷ χώρῳ ταχυτῆ-

των τῶν ἀστέρων, τῆς κατανομῆς τῆς κατακορύφου συνιστώσης W, τὴν σχέσιν τῆς ταχύτητος ἐν τῷ χώρῳ καὶ τῆς κατακορύφου συνιστώσης W καὶ τέλος τῆς κατανομῆς τῶν προβολῶν τῶν ἀστέρων ὡς πρὸς τὸν κατακόρυφον ἄξονα Z.

Σκοπὸς τῆς τοιαύτης ἀναλύσεως ἵτο κατὰ κύριον λόγον, ἡ διογενοποίησις τοῦ ὑλικοῦ ἀπὸ κινηματικῆς ἀπόψεως καὶ ἡ διασαφήνισις ποσοτικῶς, εἰ δυνατὸν ὥρισμένων ἰδιοτήτων, αἱ ὅποιαι ποιοτικῶς ἔχουν ἥδη ἐπισημανθῆ.

Εἰς τὴν στατιστικὴν ταύτην ἀνάλυσιν ὑπεβλήθησαν οἱ M0 - M1 γίγαντες ἀστέρες ὡς καὶ οἱ M2 - M4 τοιοῦτοι διὰ τὰ διαστήματα ἀποστάσεων 25 - 500 pc καὶ 25 - 1000 pc ὑπὸ τὴν προϋπόθεσιν ὅτι εἴναι γνωσταὶ αἱ κινήσεις αὐτῶν ἐν τῷ χώρῳ. Τὰ ἀποτελέσματα τῆς διερευνήσεως ταύτης παρέχονται εἰς τὰ σχήματα ὅπ' ἀριθμοὺς 10 - 14.

Ἐκ τῆς ἀναλύσεως ταύτης καθίσταται σαφὲς ὅτι τὸ ἐλάχιστον ποσοστὸν μόνον ἐκ τῶν διερευνηθέντων ἀστέρων ἔχει κατακορύφους συνιστώσας ταχύτητος  $|W| > 50 \text{ km/sec}$  ( $4\%$  διὰ τὸν M0 - M1 γίγαντας ἀστέρας καὶ  $1\%$  διὰ τὸν M2 - M4 τοιούτους) πρᾶγμα τὸ ὅποιον συνηγορεῖ ὅτι ἐλάχιστον ποσοστὸν τῶν εἰς τὴν διάθεσίν μας M - γιγάντων ἀστέρων δύνανται νὰ θεωρηθοῦν ὡς μέλη τῆς "Αλω, A. R. Upgren (1972).

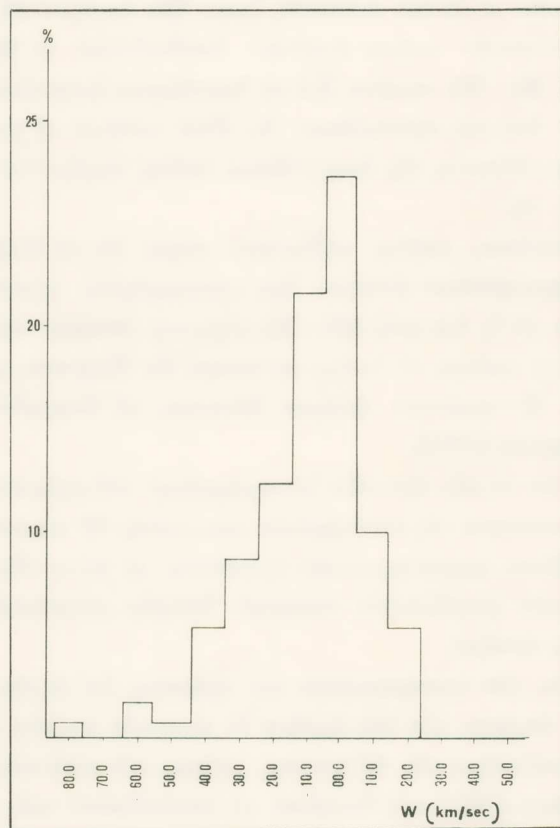
Κατὰ τὰ ἄλλα ἐκ τῶν σχετικῶν ἴστογραμμάτων τοῦ σχήματος ὅπ' ἀριθμ. 10 προκύπτει ὅτι ἡ κατανομὴ τῆς κατακορύφου συνιστώσης W παρουσιάζει εἰς ἀμφοτέρας τὰς περιπτώσεις χαρακτηριστικὴν διαλόγητα μὲ μόνην ἀξιοσημείωτον διαφορὰν τὴν ἐμφάνισιν μεγαλυτέρου ποσοστοῦ θετικῶν συνιστωσῶν W διὰ τὸν M2 - M4 γίγαντας ἀστέρας.

Ἐξ ἄλλου ἐκ τῶν ἴστογραμμάτων τοῦ σχήματος ὅπ' ἀριθμ. 11 καθίσταται σαφὲς ὅτι ἐκ τῶν ἀστέρων τῶν δύο ὁμάδων ἐν ποσοστὸν περίπου  $20\%$  ἔχει ταχύτητας ἐν χώρῳ μεγαλυτέρας τῶν  $60 \text{ km/sec}$ , πρᾶγμα ποὺ κατὰ τὸν Hefler (1969), Janes καὶ Mc Clure (1971) μᾶς ἐπιτρέπει νὰ κατατάξωμεν τὸν ἀστέρας τούτους εἰς τὸν ἀστέρας ὑψηλῆς ταχύτητος (High Velocity Stars).

Παραλλήλως ἐκ τῆς μελέτης τῶν διαγραμμάτων τοῦ σχήματος ὅπ' ἀριθμ. 12 τὰ ὅποια παρέχουν τὴν σχέσιν ταχύτητος ἐν χώρῳ καὶ τῆς ἀπολύτου τιμῆς τῆς κατακορύφου συνιστώσης προκύπτει ὅτι τόσον διὰ τὸν ἀστέρας τῆς ὁμάδος M0 - M1 γιγάντων ὃσον καὶ διὰ τὸν τοιούτους M2 - M4 ἀστέρας μὲ ταχύτητα ἐν χώρῳ μικροτέραν τῶν  $60 \text{ km/sec}$  ἐν οὐδεμιᾷ περιπτώσει ἐμφανίζονται νὰ ἔχουν κατακόρυφον συνιστῶσαν τῆς ταχύτητος αὐτῶν μεγαλυτέραν τῶν  $50 \text{ km/sec}$ .

Τέλος ἐκ τῶν ἴστογραμμάτων τοῦ σχήματος ὅπ' ἀριθμ. 13 τὰ ὅποια παριστοῦν τὴν κατανομὴν τῶν κατακορύφων προβολῶν τῆς θέσεως τῶν ἀστέρων ἐν

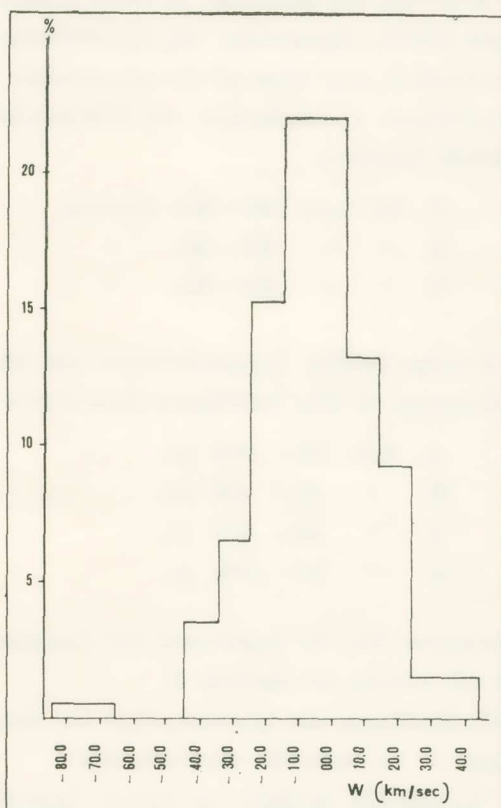
χώρφ, προκύπτει ότι τὸ 77% τῶν γιγάντων ἀστέρων τῆς ὁμάδος M0 - M1 συγκεντροῦνται εἰς ἐν στρῶμα  $\pm 100$  pc περὶ τὸ ἐπίπεδον συμμετρίας τοῦ γαλαξίου, ἐνῷ τὸ ἀντίστοιχον ποσοστὸν διὰ τὴν ὁμάδα M2 - M4 γιγάντων μειοῦνται κατὰ 10% περίπου. Τοιοῦτόν τι ἀνάλογον ἐπιβεβαιοῦται καὶ ἀπὸ τὰ U/V διαγράμ-



Σχ. 10α. Ιστόγραμμα συχνοτήτων τῆς κατακορύφου συνιστώσης τῆς ταχύτητος ἐν χώρφ τῶν M0 - M1 γιγάντων ἀστέρων διὰ τὸ διάστημα ἀποστύσεων 25 - 500 pc.

ματα Eggen (1973) τοῦ σχήματος ὑπὸ ἀριθμ. 14 ἐκ τῶν ὅποίων προκύπτει ότι τὰ νεαρὰ μέλη τοῦ δικτύου ὑπερέχουν κατὰ 10% περίπου εἰς τοὺς M0 - M1 γιγαντας (55%) ἔναντι τῶν M2 - M4 γιγάντων ἀστέρων (45%). Αἱ ἀνωτέρω παρατηρήσεις συνιστοῦν ποσοτικὴν ἔκφρασιν τῆς διαπιστώσεως, ἡ ὅποια εἶχεν ἥδη ἐπισημανθῆ ἐκ τῆς κριτικῆς τῶν διαγραμμάτων τῶν σχημάτων ὑπὸ ἀριθμ. 5, 6, 7, 8.

Εἰς ὅ,τι ἀφορᾷ τοὺς ἀστέρας οἱ ὅποιοι ἔχονται ποιήθησαν διὰ τὸν προσδιορισμὸν τῶν παραμέτρων τοῦ ἐλλειψοειδοῦς ταχυτήτων ἐλίγονη μέριμνα ὅπως ἡ ταχύτης αὐτῶν ἐν τῷ χώρῳ μὴ ὑπερβαίνῃ τὰ 60 km/sec, K. A. Janes, R. D. Mc Clure (1971), A. L. Hepler (1969). Κατὰ τὸν τρόπον τοῦτον ἀποκλείονται



Σχ. 10β. Ιστόγραμμα συχνοτήτων τῆς κατακορύφου συνιστώσης τῆς ταχύτητος ἐν χώρῳ τῶν M2 - M4 γιγάντων ἀστέρων διὰ τὸ διάστημα ἀποστάσεων 25 - 500 pc.

ἀπὸ τὴν περαιτέρω ἀνάλυσιν οἱ High Velocity Stars, ἡ συμμετοχὴ τῶν ὅποιων θὰ ἥλλοιτε τὸν χαρακτῆρα τῶν ἀποτελεσμάτων, N. Roman (1965), Mihalas (1968).

\*Η ἀπόφασις ὅπως στραφῇ ἢ ἔρευνα εἰς τὴν κατεύθυνσιν τοῦ προσδιορισμοῦ τῶν παραμέτρων τοῦ ἐλλειψοειδοῦς ταχυτήτων διὰ τὰς διμάδας M0 - M1, M0 - M4

καὶ M2 - M4 γιγάντων ἀστέρων, ὑπηγορεύθη ἀπὸ τὸ γεγονὸς ὅτι οἱ προηγούμενοι ὑπολογισμοὶ τῆς ἀποκλίσεως τοῦ Vertex καὶ αἰσθητὰ χρονικῶς παραφημένοι εἶναι, Nordström (1936), Parenago (1951) καὶ ἀναφέρονται χωρὶς διάκρισιν εἰς τὸ σύνολον τῶν M - γιγάντων ἀστέρων ἀνεξαρτήτως τοῦ φασματικοῦ ὑποτύπου εἰς τὸν ὅποιον ἀνήκουν ἢ τοὐλάχιστον ὁμάδας φασματικῶν ὑποτύπων. Τέλος πρέπει νὰ σημειωθῇ ὅτι ἡ ποιότης τῶν δεδομένων τὰ δυοῖς χρησιμοποιοῦμεν ἐνταῦθα Eggen (1965), Eggen (1970), ἔξασφαλίζει τὰς προϋποθέσεις ὑπολογισμοῦ τῶν παραμέτρων τοῦ Ἑλλειψοειδοῦς ταχυτήτων μὲ τὴν μεγαλυτέραν ἀκρίβειαν.

Οὕτω προσδιωρίσθησαν αἱ παράμετροι τοῦ Ἑλλειψοειδοῦς ταχυτήτων διὰ τρεῖς ὁμάδας φασματικῶν ὑποτύπων :

- 1) διὰ τὸν M0 - M4 γίγαντας
- 2) » » M0 - M1 »
- 3) » » M2 - M4 »

Συγχρόνως διὰ τὰς ἀνωτέρω ὁμάδας ἐσχηματίσθησαν καὶ ὑποομάδες ἀναλόγως τῆς ἀποστάσεως καλύπτουσαι τὰ ἔξῆς διαστήματα ἀποστάσεων :

- a) ἀπὸ 25 - 200 pc.
- β) » 25 - 400 pc.
- γ) » 25 - 600 pc.
- δ) » 25 - 1000 pc.

Τὰ στοιχεῖα τὰ προκύψαντα ἀπὸ τὴν διερεύνησιν τῶν ἀνωτέρω 12 ὁμάδων ἀστέρων παρέχονται ὑπὸ τοῦ πίνακος ὑπ' ἀριθμὸν 2.

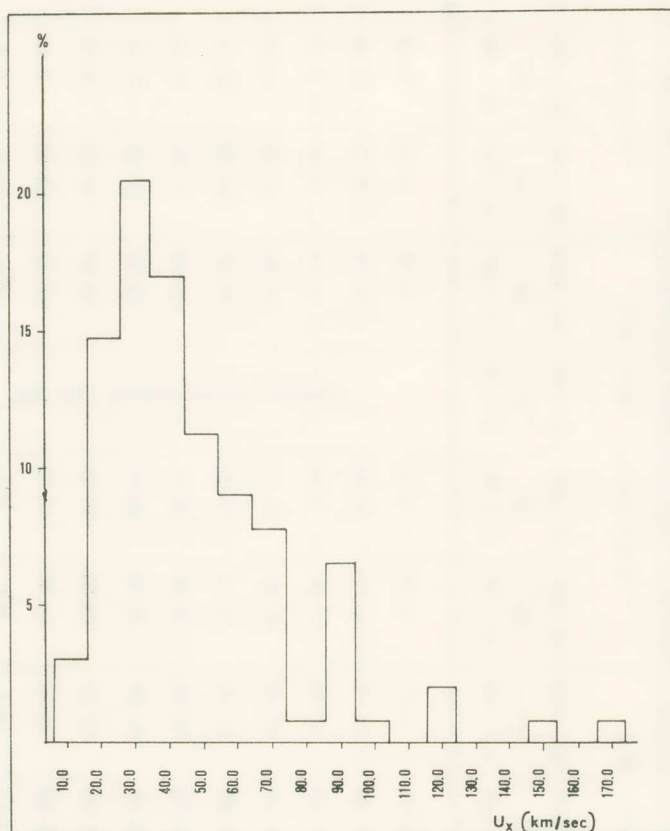
\*Ἐκ τῆς κριτικῆς ἀναλύσεως τῶν ἀποτελεσμάτων τοῦ πίνακος ὑπ' ἀριθμὸν 2, εἶναι δυνατὸν νὰ ἔξαχθονται τὰ ἀκόλουθα συμπεράσματα :

Δι<sup>2</sup> ὅλας τὰς φασματικὰς ὁμάδας, αἱ δυοῖς ἐμελετήθησαν (M0 - M4, M0 - M1 καὶ M2 - M4 γίγαντες ἀστέρες), παρατηρεῖται τὸ γενικὸν φαινόμενον ὅτι αἱ διάφοροι παράμετροι τοῦ Ἑλλειψοειδοῦς ταχυτήτων παρουσιάζουν αἰσθητὴν διαφορὰν εἰς τὰς τιμάς των, ὅταν συγκρίνωμεν τὰς τιμὰς τὰς ἀναφερομένας εἰς τὸ διάστημα ἀποστάσεων 25 - 200 pc μὲ τὰς τιμὰς αἱ δυοῖς προέκυψαν διὰ τὰς ἀνωτέρω ἀναφερθέσας τρεῖς φασματικὰς ὁμάδας αἱ δυοῖς ἀναφέρονται εἰς τὰ διαστήματα ἀποστάσεων 25 - 400, 25 - 600 καὶ 25 - 1000 pc. Μάλιστα δὲ δύναται τις νὰ παρατηρήσῃ ὅτι αἱ τιμαὶ τῶν παραμέτρων διὰ τὰ μεγαλύτερα ταῦτα διαστήματα διατηροῦν μίαν χαρακτηριστικὴν σταθερότητα. Τὸ φαινόμενον τοῦτο δύναται νὰ ἀποδοθῇ εἰς δύο αἵτια, 1) εἰς τὸ ὅτι ὅταν μελετᾶ κανεὶς ὁμάδα ἀστέρων εἰς τὸ πολὺ γειτονικὸν περιβάλλον τοῦ Ἡλίου, τότε αἱ κινηματικαὶ ἴδιότητες

Στοιχεία του ελλειψοειδούς ταχυτήτων διά διαφόρους κατηγορίας τῶν μελετηθέντων Μ - γιγάντων Δστέρων  
τῆς γετονίας τοῦ ἡγέου

	'Α στέρες ηγέου Μ 0 - Μ 4				'Α στέρες ηγέου Μ 0 - Μ 1				'Α στέρες ηγέου Μ 2 - Μ 4			
	25 - 200 pc	25 - 400 pc	25 - 600 pc	25 - 1000 pc	25 - 200 pc	25 - 400 pc	25 - 600 pc	25 - 1000 pc	25 - 200 pc	25 - 400 pc	25 - 600 pc	25 - 1000 pc
U	7.79	5.00	4.93	5.07	6.02	4.52		4.85	9.81	5.49		5.36
V	-15.45	-15.27	-15.20	-15.13	-16.69	-16.23		-16.06	-13.85	-14.39	-14.28	
W	-7.97	-7.03	-7.03	-7.08	-10.25	-9.46		-9.55	-5.38	-5.12	-5.12	
S	19.05	17.54	17.46	17.46	20.50	19.34		19.30	17.80	16.20	16.09	
Lapex	63.83	71.87	72.02	71.49	70.18	74.38		73.20	54.69	69.13	69.42	
Barex	24.74	23.66	23.73	23.92	30.02	29.31		29.64	17.61	18.40	18.56	
$\sigma_1$	21.87	21.95	21.88	21.89	21.92	22.58		22.58	22.01	21.56	21.45	
$\sigma_2$	15.31	15.66	16.53	15.61	13.94	14.69		14.69	16.31	16.54	16.27	
$\sigma_3$	13.22	13.91	13.88	13.85	11.39	12.35		12.28	22.01	14.65	14.38	
$1\sigma_1$	-1.3	0.5	0.7	0.4	7.7	7.0		6.3	-13.3	-7.4	-7.0	
$b\sigma_1$	+11.5	2.5	2.4	2.1	7.0	1.0		0.6	16.7	3.7	3.7	

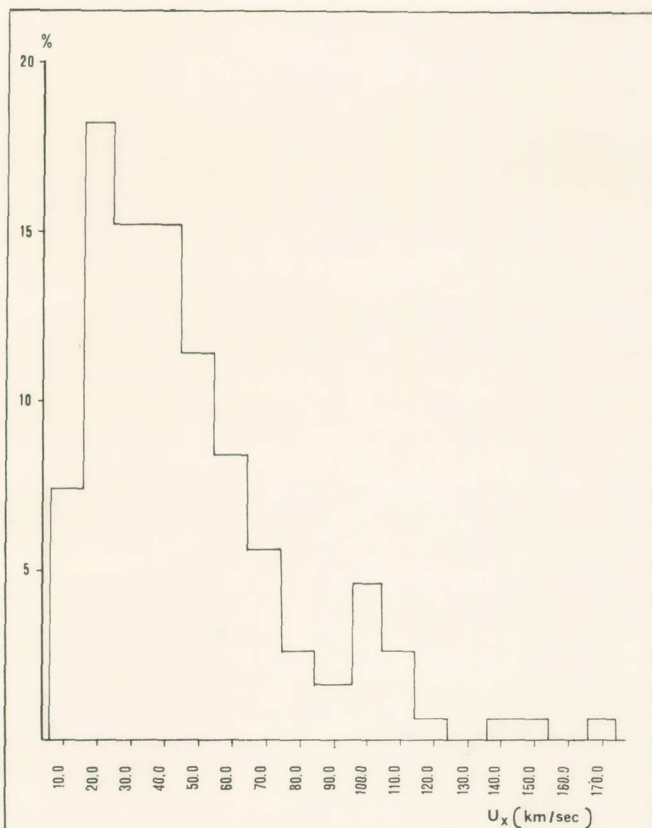
καὶ τὰ χαρακτηρίζοντα αὐτὰς μεγέθη ἐμφανίζουν γενικῶς χαρακτηριστικὰ μὴ ἀποκατεστημένης ίσορροπίας, τὰ δποῖα εἶναι δυνατὸν νὰ ἀποδοθοῦν εἰς τὴν γενικὴν ίδιομορφίαν κινήσεως τοῦ τοπικοῦ συστήματος ἀστέρων ἢ εἰς τὴν ὑπαρξίν τοπικῶν φευμάτων κινήσεως ἀστέρων.



Σχ. 11α. Ιστόγραμμα συχνοτήτων τῆς ταχύτητος ἐν χώρῳ τῶν M0 - M1 γιγάντων ἀστέρων διὰ τὸ διάστημα τῶν ἀποστάσεων 25 - 500 pc

Μία δευτέρᾳ καὶ ἵσως πλέον λογικοφανῆς διὰ τὴν προκειμένην περίπτωσιν ἔξήγησις συνίσταται εἰς τὸ ὅτι δὲ ἀριθμὸς τῶν συμμετεχόντων εἰς τὰς λύσεις ἀστέρων δι' διμάδας μὲν ἀποστάσεις πέραν τῶν 400 pc μεταβάλλεται ἐλάχιστα. Οὕτως ἡ προσθήκη εἰς τὰς λύσεις ἐνὸς ἢ δύο νέων ἀστέρων δύναται νὰ ἀναμένεται ὅτι μικρὰν μόνον ἐπίδρασιν ἐπὶ τῶν ἀποτελεσμάτων θὰ ἔχῃ. Ἀν καὶ εἰς ἄλλας περιπτώσεις ἔχει παρατηρηθῆ προσθήκη ἐνὸς ἀστέρος νὰ μεταβάλῃ ἐνίστε αἴροντας (Fricke, Tsionmis 1975).

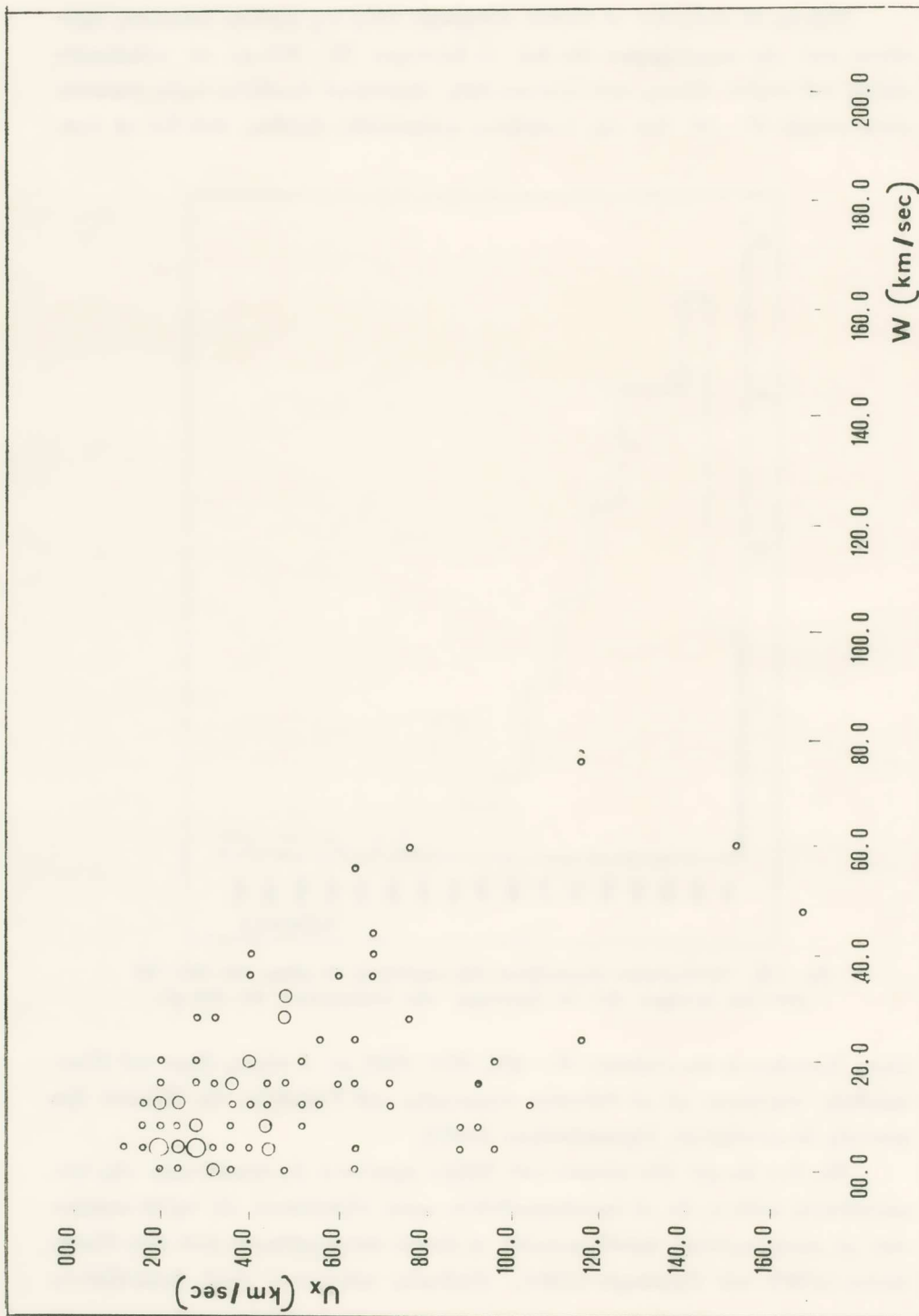
Πάντως ἐν στοιχεῖον τὸ δρόμον συνηγορεῖ ὑπὲρ τῆς πρώτης ἀπόψεως, προκύπτει ἀπὸ τὴν παρατήρησιν ὅτι διὰ τὸ διάστημα 25 - 200 pc τὸ γαλαξιακὸν πλάτος τοῦ κυρίου ἀξονος τοῦ ἐλλειψοειδοῦς ταχυτήτων λαμβάνει τιμὰς κυμαινομένας μεταξὺ 7° - 16° διὰ τὰς διαφόρους φασματικὰς διμάδας, ἐνῷ διὰ τὰ ὑπό-



Σχ. 11β. Ἰστόγραμμα συχνοτήτων τῆς ταχύτητος ἐν χώρῳ τῶν M2 - M4 γιγάντων ἀστέρων διὰ τὸ διάστημα τῶν ἀποστάσεων 25 - 500 pc.

λοιπὰ διαστήματα ἀποστάσεων 25 - 400, 600, 1000 pc ὁ κύριος ἀξων τοῦ ἐλλειψοειδοῦς συμπίπτει μὲ τὸ ἐπίπεδον συμμετρίας τοῦ Γαλαξίου, ὡς ἄλλωστε ἡτο φυσικῶς ἀναμενόμενον, Ogorodnokov (1965).

Εἰς ὅ,τι ἀφορᾷ τὴν κίνησιν τοῦ Ἡλίου προκύπτει ὡς ἀποτέλεσμα τῆς ἐπιχειρηθείσης μελέτης ὅτι αἱ προσδιορισθεῖσαι τιμαὶ εὑρίσκονται εἰς καλὴν συμφωνίαν μὲ προηγούμενους προσδιορισμούς, οἱ δρόμοι ἐπεχειρήθησαν ἀπὸ τοὺς Nordström (1936) καὶ Parenago (1951). Αἰσθητῶς ηὗξημέναι τιμαὶ ἐμφανίζονται



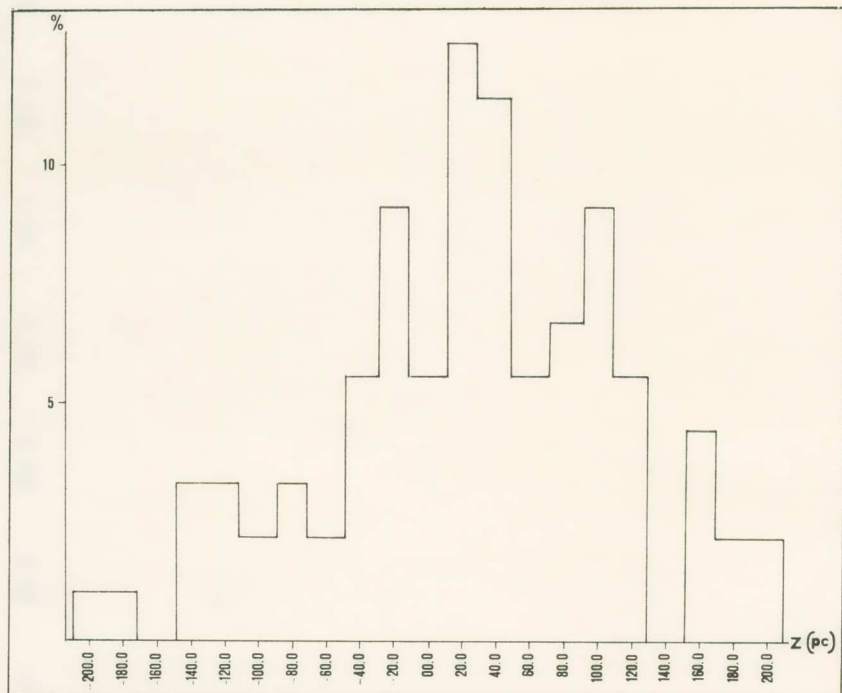
Σχ. 12a. Διάγραμμα παρέχον την σχέση της ταχύτητος ἐν ζύγω Σχ και τῆς κατακούφου συνιστόσης ω τῶν ΜΟ - ΜΙ γιγάντων ἀστέρων διὰ τὸ διάστημα τῶν ἀποστάσεων 25 - 500 pc.



Ση. 12β. Διάγραμμα παρέχον τὴν σχέσιν τῆς ταχυτήτος ἐν χώρῳ Υ καὶ τῆς κατακορύφου συνιστούσης ω τῶν M2 - M4 γνάντων ἀστέρων διὰ τὸ διάστημα τῶν ὀποστάσεων 25 - 500 pc.

διὰ τὸ γαλαξιακὸν πλάτος τῆς διευθύνσεως τοῦ Arex, ὅταν ἀναφερόμεθα εἰς τοὺς M0 - M1 ἀστέρας.

Αἱ προσδιορισθεῖσαι τιμαὶ τῶν διασπορῶν κατὰ τὴν διεύθυνσιν τῶν τριῶν ἀξόνων τοῦ ἐλλειψοειδοῦς ταχυτήτων ἐμφανίζονται συστηματικῶς μικρότεραι ἀπὸ

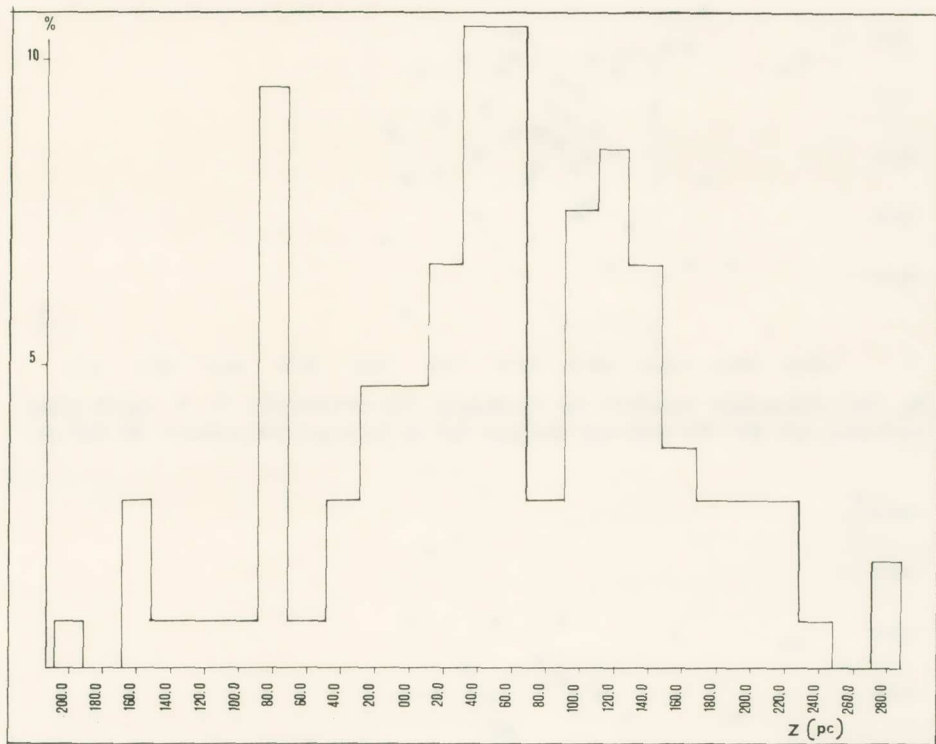


Σχ. 13α. Ἰστόγραμμα συχνοτήτων τῆς προβολῆς τῆς θέσεως τῶν M0 - M1 γιγάντων ἀστέρων ἐπὶ τοῦ ἀξονοῦ Z διὰ τὸ διάστημα τῶν ἀποστάσεων 25 - 500 pc.

ὅτι ὑπελογίσθησαν ἀπὸ τοὺς προαναφερόμεντας συγγραφεῖς. Τοῦτο πιθανὸν νὰ ὀφείλεται κατὰ κύριον λόγον εἰς τὸ ὅτι ἡ μελέτη περιορίζεται εἰς προγενεστέρους φασματικοὺς ὑποτύπους καὶ ἔχει ληφθῆ μέριμνα διὰ τὸν ἀποκλεισμὸν ἐξ αὐτῶν τῶν ἀστέρων μεγάλης ταχύτητος.

Τέλος εἰς ὅτι ἀφορᾶ τὴν ἀπόκλισιν ἀπὸ τὸ Vertex (Vertex Deviation) τὰ ἀποτελέσματα τῆς παρούσης μελέτης ἐμφανίζονται ἵδιαζόντως ἐνδιαφέροντα διὰ τὸν λόγον ὅτι ἐμφανίζεται οὐσιαστικὴ διαφοροποίησις τοῦ ἀποτελέσματος εἰς

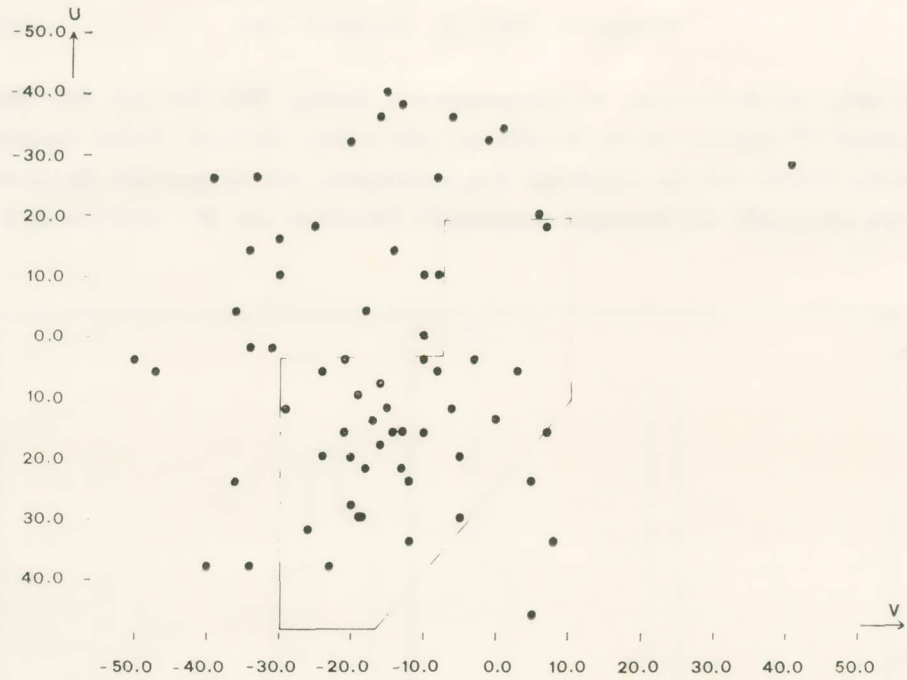
τὰς τιμὰς τὰς συνδεομένας μὲ τὰς φασματικὰς ὁμάδας M0 - M1 καὶ M2 - M4 (διαφορὰ  $15^{\circ}$  περίπου εἰς τὰς διευθύνσεις τῶν κυρίων ἀξόνων). Τοῦτο συνιστᾷ βασικὴν ἔνδειξιν διὰ τὴν παραδοχὴν διαφοροποιήσεως τῶν κινηματικῶν ἴδιοτήτων ἀκόμη καὶ μεταξὺ τῶν διαφόρων φασματικῶν ὑποτύπων τῶν M - γιγάντων ἀστέ-



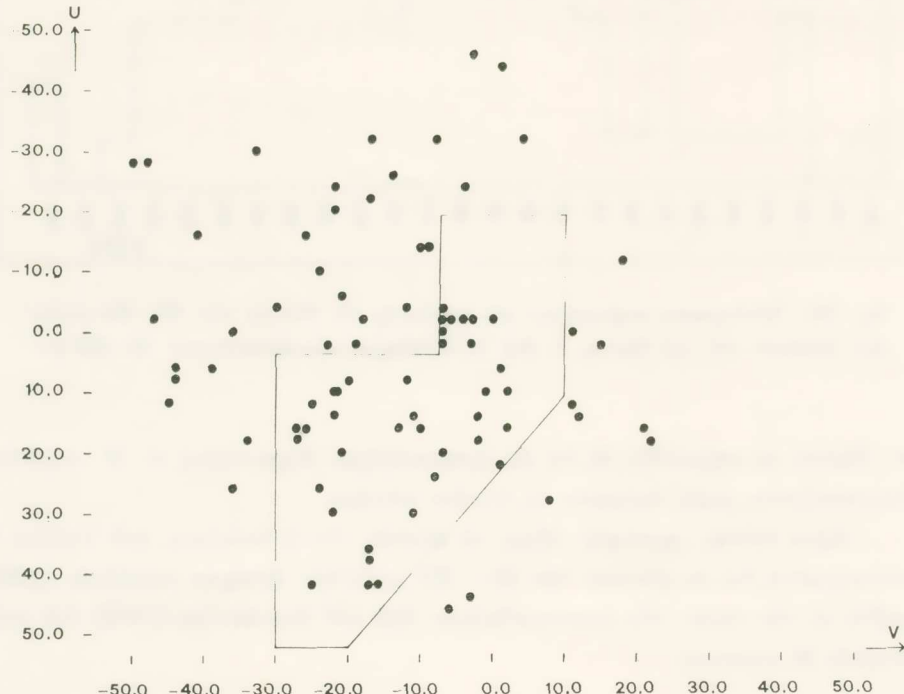
Σχ. 13β. Ιστόγραμμα συχνοτήτων τῆς προβολῆς τῆς θέσεως τῶν M2 - M4 γιγάντων ἀστέρων ἐπὶ τοῦ ἄξονος Z διὰ τὸ διάστημα τῶν ἀποστάσεων 25 - 500 pc.

ρων. Πρέπει νὰ σημειωθῇ δὲ ὅτι εἰς προγενεστέρας διερευνήσεις οἱ M - γίγαντες ἀντιμετωπίζοντο χωρὶς διάκρισιν ὡς ἔνιαινον σύνολον.

”Αξιον ἐπίσης προσοχῆς εἶναι τὸ γεγονός ὅτι ἡ ἀπόκλισις τοῦ Vertex ἡ ὑπολογιζομένη διὰ τὸ σύνολον τῶν M0 - M4 γιγάντων ἀστέρων συμπίπτει σχεδὸν ἀκριβῶς μὲ τὴν τιμὴν τὴν ὑπολογισθεῖσαν ὑπὸ τοῦ Nordström (1936) διὰ τοὺς λαμπροὺς M γίγαντας.



Σχ. 14α. Διάγραμμα έμφανον τὴν κατανομὴν τῶν συνιστωσῶν  $U$ ,  $V$  τῆς ἐν χώρῳ ταχύτητος τῶν  $M0 - M1$  γιγάντων ἀστέρων διὰ τὸ διάστημα ἀποστάσεων 25 - 500 pc.



Σχ. 14β. Διάγραμμα έμφανον τὴν κατανομὴν τῶν συνιστωσῶν  $U$ ,  $V$  τῆς ἐν χώρῳ ταχύτητος τῶν  $M2 - M4$  γιγάντων ἀστέρων διὰ τὸ διάστημα ἀποστάσεων 25 - 500 pc.

## S U M M A R Y

In this paper the peculiarities of the M - giant stars of the solar neighbourhood are in some respect studied. This in the beginning of author's trial to combine the results which are derived from the cinematical behaviour of various groups of stars (the M - giant group in this case) with the space distribution of these stars in general. Especially the distribution of early type M - giant stars (M0 - M4) of the solar neighbourhood is studied, a comparison with results of previous researches is tried and finally the cinematical behaviour of these group of stars is engaged by the determination of the velocity ellipsoid's parameters of the group in question.

## ΒΙΒΛΙΟΓΡΑΦΙΑ

- I. Atanasić, Astrophysics and Space Science Library, Vol. 26, D. Reidel Publishing Co. Dordrecht - Holland, 1971.
- V. M. Blanco, Astron. J., 69, 730, 1964.
- \_\_\_\_\_, Galactic Structure, ed. by A. Blaauw and M. Schmidt, 1965.
- V. M. Blanco - M. P. Fitzgerald, Publ. of U. S. Naval Obs. Second Series, Vol. XXI, 1970.
- B. J. Bok, The Distribution of Stars in Space, Chicago Univ. Press. Vol. XX, 1937.
- O. J. Eggen, Aph. J., Suppl. 14, 307, 1965.
- O. J. Eggen - M. R. Stokes, Aph. J., 161, 199, 1970.
- O. J. Eggen, PASP., 85, 379, 1973.
- M. P. Fitzgerald, Astron. Astroph. Vol. 4, 234, 1970.
- W. Fricke - A. C. Tsioumis, Kinematic von Sternsystemen, (*ύπο έκτυπωσιν*) 1975.
- H. L. Hefler, Astron. J., 74, No. 10, 1155, 1967.
- K. A. Janes - R. D. McClure, Aph. J., 165, 561, 1971.
- J. R. Lesh, Aph. J., Supp. Ser., No. 151, Vol. 17, 371, 1968.
- O. Lindblad, Stars and the Milky Way System, ed. by L. N. Mavridis, Springer Verlag, Berlin - Heidelberg - New York 1968.
- L. N. Mavridis, Structure and Evolution of the Galaxy, ed. by L. N. Mavridis, 110, 1971.
- S. W. McCuskey, The Spiral Structure of our Galaxy, ed. by W. Becker and G. Contopoulos, 189, 1970.
- R. Mihalas, Galactic Astronomy, W. H. Freeman and Co. San Francisco and London, 1968.

- H. Nordström, *Meddel. Lund Ser. II*, N. 79, 1936.
- K. F. Ogorodnikov, *Dynamics of Stellar Systems*, Pergamon Press, Oxford - London - Edinburg - New York - Paris - Frankfurt, 1965.
- P. P. Parenago, *Publ. Stenberg Inst.*, 20, 26, 1951.
- N. C. Roman, *Galactic Structure*, ed. by A. Blaauw and M. Schmidt, 345, 1965.
- Th. Schmidt - Kaler, *Astronomy and Astrophysics*, ed. by H. Voigt, Springer Verlag - Berlin - Heidelberg - New York, 301, 1965.
- A. K. Τσιούμης, 'Επιστημονική 'Επετηρίς τῆς Πολυτεχνικῆς Σχολῆς τοῦ Πανεπιστημίου Θεσσαλονίκης, Διατριβὴ ἐπὶ Διδακτορίᾳ, 1974.
- A. R. Upgren, *Aph. J.*, 172, 149, 1972.



Ο 'Ακαδημαϊκὸς κ. Ιω. Ξανθάκης, παρουσιάζων τὴν ἀνωτέρῳ ἀνακοίνωσιν, εἶπε τὰ ἔξῆς :

'Έχω τὴν τιμὴν νὰ παρουσιάσω ἐργασίαν τοῦ κ. 'Αλεξάνδρου Τσιούμη ὑπὸ τὸν τίτλον : «'Ἐρευνα ἐπὶ τῶν Μ - γιγάντων ἀστέρων τῆς γειτονίας τοῦ 'Ηλίου. Κατανομὴ ἐν τῷ χώρῳ. Κινηματικὴ συμπεριφορά».

Ο κ. 'Αλέξανδρος Τσιούμης, τοῦ 'Ἐργαστηρίου Γεωδαιτικῆς 'Αστρονομίας τοῦ Πανεπιστημίου Θεσσαλονίκης, μελετᾷ εἰς τὴν ἐργασίαν του ταύτην τὰς ἴδιότητας γιγάντων ἀστέρων τῆς φασματικῆς τάξεως Μ ποὺ ενδισκονται εἰς τὴν περιοχὴν τοῦ 'Ηλίου, δηλαδὴ εἰς ἀποστάσεις μέχρι 1.000 pc ἢ 3.000 ἐτῶν φωτὸς ἀπὸ τὸν 'Ηλιον.

Εἰδικώτερον εἰς τὴν μελέτην ταύτην ἀσχολεῖται μὲ τὴν κατανομὴν τῶν γιγάντων ἀστέρων προγενεστέρων φασματικῶν ὑποτύπων ἀπὸ Μ0 - Μ4 τῆς περιοχῆς τοῦ 'Ηλίου. 'Επὶ πλέον ἐπιχειρεῖται ἡ μελέτη τῶν κινηματικῶν ἴδιοτήτων τῶν ἀστέρων τούτων διὰ τοῦ προσδιορισμοῦ τῶν παραμέτρων τοῦ ἐλλειψοειδοῦς ταχυτήτων τῆς ἐν λόγῳ διμάδος.